

RB-P

44



R6PF
6

Staveley L.A., Grey N.P.,

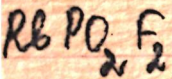
1963

Layzell M.J.

Z. Naturforsch., 1963, 18a, nr,
148.

Каюрический рур. исследование
геохимических показателей анио-
нной, реологической и химич.

X. 1964. 2



1967

6 Б471. Структура дифторфосфатов цезия и рубидия, Trotter James, Whitlow S. H. The structures of caesium and rubidium difluorophosphates. «J. Chem. Soc.», 1967, A, № 8, 1383—1386 (англ.)

Проведено рентгенографич. исследование (методы вращения, Вейссенберга, прецессии и монокристального дифрактометра, λ Си- и $Mo-K\alpha$) кристаллов $RbPO_2F_2$ (I) и $CsPO_2F_2$ (II). Оба соединения синтезированы путем р-ции соответствующих хлоридов с дифторфосфатной к-той. Установлено, что I и II изоморфны с KPO_2F_2 (III) и все три соединения изоструктурны с $BaSO_4$. Параметры ромбич. решетки: I a 8,15, b 6,45, c 7,79 Å, ρ (выч.) 3,02; II a 8,43, b 6,79, c 8,06 Å, ρ (эксп.) 3,3, ρ (выч.) 3,36; для обоих $Z=4$, ф. гр. $Pnma$. Структура

Структура

п. 1968·6

19

II определена полностью на основе трехмерных данных. Исходные координаты атомов, заимствованные из структуры III (РЖХим, 1967, 13Б419), уточнены методом наименьших квадратов с учетом анизотропии тепловых колебаний; при 506 отражениях $R(hkl) = 0,07$. Координаты атомов x, y, z : Cs 0,1365; 0,2500; 0,1423, P 0,1099; 0,2500; -0,3198, F₍₁₎ 0,2510; 0,2500; -0,4511, F₍₂₎ -0,0273; 0,2500; -0,4433, O 0,1125; 0,0606; -0,2325. Структуры I и III имеют лишь то различие, что расстояния M—O в I несколько увеличены в соответствии с большим ионным, радиусом Cs⁺. Ионы PO₂F₂⁻ имеют в обеих структурах близкие размеры и характеризуются одинаковой собственной симметрией C_{2v}. Аналогичны и вращательно-колебательные тепловые движения этих ионов в I и III, тогда как амплитуды трансляционных колебаний несколько выше в I. Межатомные расстояния и валентные углы в структуре I: P—F 1,58, P—O 1,48 Å, F—P—F 97,7°, O—P—O 122,6°, F—P—O 108,4°, Cs—O 3,07—3,29, Cs—F 3,26—4,28 Å. А. А. Воронков

1968

Rb₂H₂PO₄

ЗЕ810. Теплоемкость монокристаллического RbH₂PO₄. Амин М., Струков Б. А. «Физ. твердого тела», 1968, 10, № 10, 3158—3160

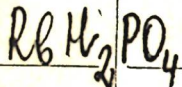
В интервале т-р от —145 до —120° С вблизи ферроэлектрич. перехода измерена теплоемкость RbH₂PO₄. При —125,3° С (точка Кюри) наблюдается аномалия λ-типа с максим. значением с 80 кал/моль·град. Анализ температурного хода с для полярной фазы показывает, что зависимость избыточной теплоемкости от $T_k - T$ выражается логарифмич. ф-лой в отличие от степенной у изоморфного кристалла KH₂PO₄.

А. К. Киконин

ГР

9. 1970. 38

1968

(C_p)

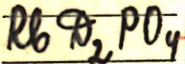
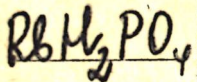
513374 Heat capacity of rubidium dihydrogen phosphate single crystals. Amin, Mohammed; Strukov, B. A. (Mosk. Gow. Univ. im. Lomonosova, Moscow, USSR). *Fiz. Tverd. Tela* 1968, 10(10), 3158-60 (Russ). Results are given of the measurements of heat capacity and excess entropy of the phase transition in single cryst. RbH₂PO₄. The problem is discussed of the anal. form of the temp. dependence of excess heat capacity in the polar phase. The object of the investigation was a single crystal of RbH₂PO₄ in the form of 2 identical z-cut plates. Min. temp. interval, in the measurement of heat capacity, of heating in adiabatic conditions close to the Curie temp. was 0.02-0.04°. Dependence is given of heat capacity on temp. in the interval -1.41-120°. Max. value of heat capacity at -125.30° is 80 cal./mole-degree and the corresponding entropy value is 0.684 ± 0.003 cal./mole-degree. The stepwise law of variation of excess heat capacity is applicable only in the temp. interval ~0.15-2°.

A. Libackyj

C.A.

1969.70.12

1969



(T_{tr})

43106x High-temperature phase transition in rubidium dihydrogen orthophosphate. Blinc, Robert; O'Reilly, Donald E.; Peterson, E. Mark; Williams, Jack Marvin (Argonne Nat. Lab., Argonne, Ill.). *J. Chem. Phys.* 1969, 50(12), 5408-11 (Eng). The high-temp. phase change in tetragonal RbH_2PO_4 at 86° is found to result in a quasi-irreversible transition to a monoclinic modification which seems to be isomorphous with monoclinic RbD_2PO_4 and KD_2PO_4 . The transition is accompanied by a distortion of the PO_4 groups and an ordering of the protons. From the analogy with monoclinic KD_2PO_4 it seems probable that the protons attach to one upper and one lower corner of a PO_4 group giving rise to pyroelec. behavior along the *b* axis. The similarity of the ir spectra of the high-temp. forms of RbH_2PO_4 and KH_2PO_4 demonstrates that the above statements are valid for KH_2PO_4 as well.

RC10

C.A. 1969.

71.10

+1



1969

RbPO₃

Henry Y.
Durieff dn.

Bull. Soc. Fr. Miné-
ral. Cristallogr. 1969,
92, 5, 484.

Tix

(Cee. Rb-Ca) I

RbH_2PO_4

Frenzel C. u gp.

1970

Phys. Status solidi (a),
2(2), 273

T_{tr}

(cfr. KH_2AsO_4)

1970

(RbPO₃)₃

BX-4470

18 Б700. Диаграммы состояния систем RbPO₃—Rb₄P₂O₇ и CsPO₃—Cs₄P₂O₇. Кривовязов Е. Л., Волкова В. П., Воскресенская Н. К. «Изв. АН СССР. Неорганические материалы», 1970, 6, № 4, 761—765

Методами ДТА, визуально-политермич., и дифференциального термогравиметрич. анализа, рентгенофазовым и хр-фии на бумаге исследованы диаграммы состояния систем RbPO₃—Rb₄P₂O₇ и CsPO₃—Cs₄P₂O₇. В системах констатировано образование триполифосфатов Rb и Cs, плавящихся инконгруэнтно при 616 и 518°, соответственно.

Автореферат

T_m

X. 1970. 18

+1



1940

RbPO₃T_m

393490 Phase diagrams of RbPO₃-Rb₄P₂O₇ and CsPO₃-Cs₄P₂O₇ systems. Krivovyyazov, E. L.; Volkova, V. P.; Voskresenskaya, N. K. (Inst. Obshch. Neorg. Khim. im. Kurnakova, Moscow, USSR). Izv. Akad. Nauk SSSR, Neorg. Mater. 1970, 6(4), 761-5 (Russ). The liquidus of these diagrams studied was observed visually. The RbPO₃ m. 805° and undergoes a polymorphous transformation at 409°. The ns for RbPO₃, as found by the immersion method, are α 1.505 and γ 1.520. The m.p. of CsPO₃ is 736°. A polymorphous transformation was observed at 480°. The ns for CsPO₃ are α 1.542 and γ 1.547. Melts of the mixts. with oxide content increasing to >28% became less and less transparent, which made visual observation more difficult. All of the mixts. studied are very hygroscopic and tend towards vitrification. Effects corresponding to the liquidus temp. are absent on the heating curves of the mixts. (with the exception of the metaphosphates and the mixts. with 5% oxide).

C.A. 1940, 43

.8

In the $\text{RbPO}_3\text{-Rb}_4\text{P}_2\text{O}_7$ system, starting from 18% Rb_2O and higher, an endothermic effect is observed at 616° and is attributed to the incongruent melting of $\text{Rb}_5\text{P}_3\text{O}_{10}$. In the $\text{CsPO}_3\text{-Cs}_4\text{P}_2\text{O}_7$ system, the endothermic effects at 30–33.3% Cs_2O at 220° are attributed to the polymorphous transformation of $\text{Cs}_4\text{P}_2\text{O}_7$. All of the phase diagrams of the alkali metal phosphates (with the exception of the $\text{LiPO}_3\text{-Li}_4\text{P}_2\text{O}_7$ system) indicate the formation of the triphosphate in the region of the concd. phosphates. The formation of triphosphates in alkali metal phosphate systems (with the exception of Li phosphates) distinguishes these systems from phosphate systems of the alk.-earth metals, where tetraphosphates and hexaphosphates were present. The triphosphates of Rb and Cs melt incongruently at 616 and 512° , resp.

S. A. Mersol

RbH₂PO₄

Zoiacono G.M. 1940

Tkospa

1940, 5, 9, 445.

(C.c. RbH₂PO₄) I

RbH₅(PO₄)₂

BX-4885

1970

23 B25. Полузамещенные ортофосфаты рубидия и цезия. Norguet Alain, André Danièle. Sur les orthophosphates hémimétalliques de rubidium et de césum. «C. r. Acad. sci.», 1970, C 270, № 21, 1718—1720 (франц.)

Действием 85%-ной H₃PO₄ на RbCl или CsCl получены RbH₅(PO₄)₂ (I) и CsH₅(PO₄)₂ (II). I и II — бесцв. негигроскопичные в-ва; кристаллы I имеют вид длинных игл, кристаллы II — гексагон. пластин. Т. пл. I 131, II 151°; ρ(пикн.) 2,466 и 2,715 соотв. I имеет монокл. структуру, ф. гр. Cc4 или C2/c6, a 10, 303; b 7,76, c 9,621А, β 100,83°, Z=4. II имеет монокл. структуру, ф. гр. P2₁/c, a 10,833, b 7,772, c 9,534А, β 96,58°, Z=4. При 22° I и II р-ряются в H₂O конгруэнтно.

И. Н. Семенов

X. 1970. 23

+1

10

1970

RbH₂PO₄

11 Б523. Исследование сегнетоэлектрического перехода в RbH₂PO₄ по низкочастотным спектрам комбинационного рассеяния. Попова Е. А., Саватинова И. Т., Величко И. А., Попеко Г. С. «Физ. твердого тела», 1970, 12, № 12, 3619—3620

Получены спектры КР кристалла RbH₂PO₄, изоморфного KDP, при т-рах 300, 150 и 130° К. При переходе через точку Кюри (146° К), как и в KDP, появляются новые частоты в области решеточных колебаний, структура в широкой полосе, где проявляется трижды вырожденное колебание фосфатного иона и др. изменения. Особый интерес представляет интенсивное «крыло» вблизи возбуждающей линии (2573 Å), исчезающее при охлаждении кристалла до 130° К. Предполагается, что

T_{tr}

X. 1981. 11

присутствие этого крыла в спектре связано «с мягкой»
сегнетоэлектрич. модой, обусловленной взаимодействием
колебаний комплекса Rb—PO₄ с коллективным «тун-
нельным» движением протонов.

С. К.

R6 - проекции

1971

Beglov B.M.,
et al.

(ΔHf; ΔSf) "Усп. хим. Ж."

1971, 15, N3, 15-17.

(ав. ли-процп; I).

RbH₂PO₄

BX-6773

1971

5 Б1089. Исследование высокотемпературного фазового перехода в RbH₂PO₄ методом рассеяния холодных нейтронов. Efron U., Pelah I., Vulkan U., Zafir H. Investigation of the high temperature phase transition in RbH₂PO₄ by scattering of cold neutrons. «J. Chem. Phys.», 1971, 55, № 7, 3599—3601 (англ.)

ПЧ2

Исследован фазовый переход при 86° в RbH₂PO₄, принадлежащем к группе сегнетоэлектриков с Н-связями, методом рассеяния нейтронов с энергией 5 Мэв на порошкообразном образце при т-рах: комнатной, 65, 75, 96, 110° и комнатной через две недели после охлаждения. При т-ре выше перехода наблюдается резкое воз-

X · 1972 · 5

растание максимума при 1000 см^{-1} , увеличение интенсивности в области $\Delta E 50 \text{ см}^{-1}$, появление структуры в районе $300-600 \text{ см}^{-1}$ и отсутствие изменений около 200 см^{-1} . В упругой области появляется брэгговский максимум при 690 и исчезает при 580 см^{-1} . Возрастание максимума при 1000 см^{-1} у новой фазы связывается с образованием связи протона с атомом кислорода с соответственным увеличением вал. кол. ν_1 и ν_3 для PO_3 . Область низких энергий указывает на ослабление Н-связей, что подтверждается необратимостью перехода с их разрывом и формированием в другом направлении. Исчезновение и появление брэгговских максимумов указывает на изменение симметрии решетки. Г. Л. Апарников

1941

RbH₂PO₄(T_{tr})

144685v Investigation of the high-temperature phase transition in rubidium dihydrogen phosphate by scattering of cold neutrons. Efron, U.; Pelah, I.; Vulkan, U.; Zafrir, H. (Soreq Nucl. Res. Cent., Yavne, Israel). *J. Chem. Phys.* 1971, 55(7), 3599-601 (Eng). The changes in the time-of-flight spectra (measured from room temp. to 110° with 5-meV neutrons) above the phase transition temp. (86°) for RbH₂PO₄ reflect the weakening of the H bond between 2 O atoms of adjacent PO₄ groups, and the attachment of the proton to 1 of the O atoms, which results in an increased contribution of the PO₄ normal vibrational modes to the proton's motion. Therefore, the neutron-scattering intensities at energies corresponding to the PO₄ modes increase. The peaks in the spectra near 1000 cm⁻¹ are assigned to the PO₄ ν_1 (980 cm⁻¹) and ν_3 (1100 cm⁻¹) modes, and to the H $\delta(OH)$ (1300 cm⁻¹) and $\gamma(OH)$ (900 cm⁻¹) bending modes. The peaks at 390 and 530 cm⁻¹ are assigned to the PO₄ ν_2 and ν_4 modes. The irreversibility of the transition indicates that H bonds are broken and formed in other directions. The appearance and disappearance of Bragg peaks at >86° indicates a change of lattice symmetry.

C.A. 1941

E.S.Y.

1971

Rb D₂ PO₄ бтчтн МГУ-хим-фак.

"Компьютерное исследование
термодинамических свойств
ΔНрасів и стехиометрических постолинок"
Гайдуков И. В., Герасимов А. И.,
Гайдченко Г. И.

1971

RbH₂PO₄ Отчет МГУ - хим. фак.

, комплексное исследование
периодических свойств
и магнитных постоянных"
Балубов И. В., Герасимов А. Н.,
Гильченко Т. А.

RbH₂PO₄

BX-6731

1971

7 Б607. Предварительные результаты изучения бриллюэновского рассеяния на монокристалле фосфата рубидия RbH₂PO₄. Nauret Georges, Taurel Lucienne, Chapelle Jean-Pierre. Resultats préliminaires de l'étude de la diffusion Brilloïn par un monocristal de phosphate de rubidium (PO₄H₂Rb). «С. г. Acad. sci.», 1971, № 14, B627—B630 (франц.)

T62
Изучено рассеяние света на ориентированных монокристаллах RbH₂PO₄ в т-ром интервале от 0 до —140°. В спектре рассеяния наблюдается фон, поляризац. характеристики к-рого аналогичны таковым для релевской линии в кристаллах KDP, что позволяет отнести его к «мягкой моде», связанной с сегнетоэлектрич. фазовым переходом при 147° К. В области 147° К постоянная C₆₆^E стремится к нулю; константа Кюри им.

X 1972. 7

величину порядка $A=3800\text{K}$. Коэф., оптич. упругости r_{66} в области 147°K обнаруживает резкий пик, в то время как r_{31} при этом не изменяется. Отмечено, что сильное изменение r_{66} может быть связано с возрастанием интенсивности релеевского рассеяния в области фазового перехода.

Б. В. Рассадин

RbPO_3 Kleppa O. J., 1941
Ko H. Ch.

ΔH_{mix} Inorg. Chem., 1941,
10, 4, 771.

● (Cer. LiPO_3) II

RBH_2PO_4

Струков Б.А. и др.

1971

Изб. АН СССР. Сер.

T_{tr}

дек., 1971, № 9,

1846.

(см. RH_2PO_4) I

RB PD_y

BX-4689

1972(73)

Averbach - Pouchoff, et al.

(T_m, T_{tz})

Bull. Soc. franc. minér et
cristallogr 1972(73), 95, IV,
558-64

Rb-фосфаты

1972

Беглов Б.Н.

ΔH_f , Узб. химия ж., Узб. хим. ж.,
5° 1972, N 1, 34-35.

(см Li-фосфаты)

RbPF₆

Ehlert, Thomas C.;
et al.

1972

(ΔH_f)

"J. Chem. Eng. Data"
1972, 17, N1, 18-21.

● (cst. NaPF₆; I)

BI-7083

Greenberg J. 1972
et al

RB Ha PO₄

T_{tr}

C.A. 1972

#6

16



Ca₂K₂PO₄, I

RbH₂PO₄

BХ-8520

1972

) 15 Б839. Исследование процесса дегидратации ди-
гидрофосфата рубидия. Яглов В. Н., Рудько П. К.,
Новиков Г. И. «Віснік АН БССР. Сер. хім. н., Ізв.
АН БССР. Сер. хим. н.», 1972, № 2, 105—106

В равновесных условиях с помощью кварцевого мем-
бранных нульманометра исследован процесс дегидра-
тации RbH₂PO₄. Установлено, что процесс дегидрата-
ции протекает в 2 ступени с выделением на каждой
по 0,5 моль воды. Рассчитаны термодинамич. характе-
ристики процесса дегидратации.

Автореферат

X. 1972.

15

RbH₂PO₄

1972

(ΔH°₂₉₈)

(45°₂₉₈,)

genug.

10462f Dehydration of rubidium dihydrogen phosphate.
Yaglov, V. N.; Rud'ko, P. K.; Novikov, G. I. (Beloruss. Tekhnol. Inst. im. Kirova, Minsk, USSR). *Vestsi Akad. Navuk Belarus. SSR, Ser. Khim. Navuk* 1972, (2), 105-6 (Russ). The dehydration of RbH₂PO₄ was studied statically using a quartz membrane null-manometer. Equil. was attained in 5-15 hr. The plot of H₂O vapor pressure vs. temp. up to 300° indicated 2 stages of H₂O evolution of 0.5 mole H₂O at each. The calcd. ΔH°₂₉₈ in the 1st and 2nd stage was 75.3 and 89.4 kJ/mole and ΔS°₂₉₈ 135.48 and 160.25 J/mole degree, resp.

P.A. 1972. 44. 2

Rb-фосфориты

B-X-4667

1973

Бешов Б.М.; Бешова В.И.

(cp) "Узб. хим. журн."
1973, №1, 32-35.

● (ces.Li-фосф.; I)

RbPO₃

Бекмурзин А.Б., Урик В.А.,
Люс Я.Е., Сейдеб В.А. 1973

(Pai, CH₃; AS₅)

"Материалы Всесоюзной
конф.", Нижнекамск, май 24-26,
1973, стр. 19-21;

$Rb(D_xH_{1-x})_2PO_4$ 68-8122

1973

7 Б893. Высокотемпературные фазовые переходы в кристаллах $Rb(D_xH_{1-x})_2PO_4$. Дьяков В. А., Колчик В. А., Лебедева И. В., Мищенко А. В., Рашкович Л. Н. «Кристаллография», 1973, 18, № 6, 1227—1233

Приведены результаты визуальных, рентгеновских и

(T_{tr}) термич. исследований поведения тетрагональных кристаллов с $Rb(D_xH_{1-x})_2PO_4 (0 < x \leq 0,9)$ в области т-р от комн. до 150° . Показано, что кристаллы $Rb(D_xH_{1-x})_2PO_4$ испытывают еще один переход при т-ре $\sim 115^\circ$, характеризующийся малым тепловым эффектом.

Автореферат

Х. 1974 № 7

$\text{Rb}(\text{D}_x\text{H}_{1-x})_2\text{PO}_4$

BY-8122

1973

531401 High-temperature phase transitions in $\text{Rb}(\text{D}_x\text{H}_{1-x})_2\text{PO}_4$ crystals. D'yakov, V. A.; Koptik, V. A.; Lebedeva, I. V.; Mishchenko, A. V.; Rashkovich, L. N. (Mosk. Gos. Univ. im. Lomonosova, Moscow, USSR). Kristallografiya 1973, 18(6), 1227-33 (Russ.). The d.c. DTA curves, Debye crystallograms, and the dielec. const. of single and polycryst. $\text{Rb}(\text{D}_x\text{H}_{1-x})_2\text{PO}_4$ were measured at $0 \leq x \leq 0.9$ and $20-150^\circ\text{C}$. First-order phase transitions were obstd. at 93 and 115°C for $x = 0$; heats of these transitions were 1500 and 50 cal/mole, resp., and the mol. vol. increased during the 1st transition by 1.8% . The temp. of the 1st transition decreased by 40°C with increasing x . The low sym. phase which forms during the 1st transition is stable in dry air at room temp., and with increasing humidity it converts into a tetrahedral modification within several min. The 2nd transition is easily reversible and it affects the crystal structure negligibly.

D. B. Ocenaskova

$(\Delta H_{tr}, T_{tr})$

C.A.1974. 80. N10

RBH_2PO_4 Lavarčič B,
Levstek J.

1973

(T_{tr})

"Adv. Raman Spectrosc. Vol.
I. Proc. 3rd Int Conf. Reims
1972" London e.a. 1973,
157-166 (aku)

(all KH_2AsO_4 ; T)



z. 1975. N9.

1973

RbPO₃

Markina, I.B., et al;

Zh. Neorg. Chem.,

1973, 18(9), 2329-31.

(crys. LiPO₃; T)

RBH₂90₄

BX-8365

1973

Martin O. von. et al.

(Inv)

Experim. Techn. Phys.
1973, 2, N2, 139-49.

1973

 $\text{RbH}_2\text{PO}_4 \text{ (aq)}$ $\text{Rb}(\text{D}_{0.8}\cdot\text{H}_{0.2})\text{PO}_4 \text{ (aq)}$

(Tm)

52828x Properties of rubidium-dihydrogen phosphate solutions in normal and heavy water. Mishchenko, A. V.; Rashkovich, L. N. (Mosk. Gos. Univ., Moscow, USSR). *Zh. Neorg. Khim.* 1973, 18(11), 2892-7 (Russ). The ds. of solns. of RbH_2PO_4 in H_2O (5-56.7 g/ml) and of solns. of $\text{Rb}(\text{D}_{0.8}\text{H}_{0.2})_2\text{PO}_4$ in $(\text{D}_{0.8}\text{H}_{0.2})_2\text{O}$ (32.8-55.6 g/ml) was studied. The consts. a and b in the equation for the temp. dependence of d., $d. = a - bt$ (t = temp.), were caled. for solns. at 14-64°. The ds. of satd. solns. of RbH_2PO_4 (15.1-49.4 g/ml) and of satd. solns. of $\text{Rb}(\text{D}_{0.8}\text{H}_{0.2})_2\text{PO}_4$ (32.0-54.1 g/ml) were measured at 14-50°. The consts. for the temp. dependence of the elec. cond. were caled. The solid-liq. phase equil. was studied; f.ps. are given for RbH_2PO_4 solns. (0-32.2 g/ml) and for $\text{Rb}(\text{D}_{0.8}\text{H}_{0.2})_2\text{PO}_4$ solns. (0-34.9 g/ml).

Ivan Wichterle

C.A. 1974. 80. N10

RbH_2PO_4 ; RbD_2PO_4

1973

89288f Enthalpies of solution of rubidium dihydrogen phosphate in water and rubidium dideuterium phosphate in heavy water. Monaenkova, A. S.; Kon'kova, T. S.; Mishchenko, A. V.; Vorob'ev, A. F. (Mosk. Gos. Univ. im. Lomonosova, Moscow, USSR). *Zh. Obshch. Khim.* 1972, 42(12), 2615-19 (Russ.). Isothermal calorimeter was used to det. the enthalpies at 24.5° , for soln. of RbH_2PO_4 in H_2O and RbD_2PO_4 in D_2O at several concns. Enthalpies of diln. of $\text{RbH}_2\text{PO}_4 \cdot 14.59\text{H}_2\text{O}$ to $\text{RbH}_2\text{PO}_4 \cdot 380\text{H}_2\text{O}$ and the enthalpy of mixing of solns. of $\text{RbD}_2\text{PO}_4 \cdot 18.8\text{D}_2\text{O}$ with $\text{RbD}_2\text{PO}_4 \cdot 3100\text{D}_2\text{O}$ were also detd.

G. M. Kosolapoff

ΔH_{m}

C.A. 1973. 78 N 14

RbH_2PO_4

B X - 8323

1973
18.77

14 Б939. Симметрия кристалла высокотемпературной фазы RbH_2PO_4 , определенная методом инфракрасной спектроскопии. Огел В., Наджи Д. The crystal symmetry of the high temperature phase of RbH_2PO_4 from the far infrared spectrum. «J. Mol. Struct.», 1973, 18, № 3, 495—497 (англ.)

(T_{tr})

Методом ИК-спектроскопии изучен фазовый переход в RbH_2PO_4 (I), RbD_2PO_4 (II) и CsH_2PO_4 (III) с целью установления симметрии кристаллов I—III в высокотройной форме. Установлено, что тетрагон. I при $\sim 86^\circ$ переходит в фазу с ромбич. сингонией, ф. гр. C_2^2 . Высокотройные формы I и II изоморфны и характеризуются наличием 4 полос поглощения в длинноволновой части ИК-спектра с одинаковыми частотами 220, 155, 110 и 73 см^{-1} , к-рые отнесены к решеточным колебаниям. В ИК-спектре III в этой области также отмечены 4 полосы поглощения (220, 155, 97 и 81 см^{-1}), но в силу смещения двух последних полос относительно I и II, для III предложена ромбич. симметрия с другой простр. группой — C_{2v}^{14} .

А. В. Салов

2.1974. N14.

RbH_2PO_4

$\text{Rb}_2\text{H}_2\text{P}_2\text{O}_7$

RBPO_3

4HF

Пигбико Д.К., 1973
Химф ВН., Колесов Г.И.

Всд. „Мечелес Всес.комп.
на экспозиции, 1973.
Радиус. теплоизол. " "
Предмет, описанный,
1973, 47-73

(вар. LiH_2PO_4 ; 7)

1973

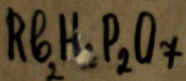
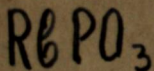
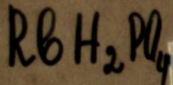
RbH₂PO₄ 8 Б670. Калориметрическое исследование дигидроортофосфата рубидия. Рудько П. К., Яглов В. Н., Новиков Г. И. «Весці АН БССР. Сер. хім. н., Изв. АН БССР. Сер. хим. н.», 1973, № 6, 111—112.

ΔHf₂₉₈ В калориметре с изотермич. оболочкой измерены теплоты р-ции RbH_2PO_4 (I) + 2RbOH = Rb₃PO₄ + H₂O (1) и $\text{H}_3\text{PO}_4 + 3\text{RbOH} = \text{Rb}_3\text{PO}_4 + 3\text{H}_2\text{O}$. Из полученных данных для теплоты образования I при 298° К найдено $\Delta H^\circ(\text{обр.}) = -1570,3 \pm 3,3$ кдж/моль. С использованием лит. данных определены значения $\Delta H^\circ(\text{обр.})$ 298 Rb₂H₂P₂O₇ и RbPO₃, равные $-2823,4 \pm 6,6$ и $-1246,0 \pm 6,6$ кдж/моль. Результаты сравнены с расчетными лит. данными. По разности теплот р-ции (1) с использованием двух образцов I (вакуумная сушка при 135 и 65°) определена теплота полиморфного превращения I ($T_{\text{превр}} = 110 - 120^\circ$), равная 3,8 кдж/моль.

А. Гузей

2. 1974 N 8

1973



$$(\Delta H_f)$$

74898x Calorimetric study of rubidium dihydrogen orthophosphate. Rud'ko, P. K.; Yaglov, V. N.; Novikov, G. I. (Beloruss. Tekhnol. Inst. im. Kirova, Minsk, USSR). *Vestsi Akad. Naruk Belarus. SSR, Ser. Khim. Naruk* 1973, (6), 111-12 (Russ.). The heat of formation, ΔH_f , of RbH_2PO_4 was caled. by measuring heats of reactions, ΔH , given by the thermochem. equations: $\text{RbH}_2\text{PO}_4 + 2 \text{RbOH} = \text{Rb}_2\text{PO}_4 + 2 \text{H}_2\text{O} - \Delta H_1$ and $\text{H}_2\text{PO}_4 + 3 \text{RbOH} = \text{Rb}_2\text{PO}_4 + 3 \text{H}_2\text{O} - \Delta H_2$, in an isothermal calorimeter. The found values $\Delta H_1 = 78.4 \pm 1.5$ kJ/mole and $\Delta H_2 = 179.0 \pm 1.0$ kJ/mole together with the caled. value of ΔH_f of the RbOH soln. and the literature values of ΔH_f of H_2PO_4 and H_2O give $\Delta H_f^\circ, 298 \text{ RbH}_2\text{PO}_4 = -1570.3 \pm 3.3$ kJ/mole. By using the known values of heats of dehydration of RbH_2PO_4 , the following values were caled.: $\Delta H_f^\circ, 298 \text{ RbH}_2\text{P}_2\text{O}_7 = -2823.4 \pm 6.6$ kJ/mole and $\Delta H_f^\circ, 298 \text{ RbPO}_3 = -1246.0 \pm 6.6$ kJ/mole. The heat of polymorphic transformation of RbH_2PO_4 (taking place at $110-120^\circ$) detd. by calorimetric measurements as the difference of ΔH_f values for RbH_2PO_4 dried in vacuum at 135° and 65° , resp., is 3.8 kJ/mole.

C.A.1974.80 M14

Jan J. Linek

RbH₂PO₄

BX-8300

1973

Raman chart

(Ttr)

117186s Ferroelectric mode in the Raman spectrum of crystalline rubidium dihydrogen phosphate. Savatinova, I. T.; Chisler, E. V. (A. F. Ioffe Physicotech. Inst., Leningrad, USSR). *Dokl. Bolg. Akad. Nauk* 1973, 26(1), 31-3 (Eng). The temp.-dependent low-frequency polar mode in the Raman spectrum of ferroelec. RbH_2PO_4 was studied. The obsd. band (represented a wing of the Rayleigh line extending to $\sim 110 \text{ cm}^{-1}$) grew more intense and narrower as temp. was reduced toward the transition temp. (147°K). The spectral distribution of the imaginary part of the dielec. permittivity was well fitted by the function of a simple damped harmonic oscillator with the characteristic frequency, $\omega_0 = 70, 55, \text{ and } 35 \text{ cm}^{-1}$ at $150, 248, \text{ and } 290^\circ\text{K}$, resp., and a temp.-independent damping const., $\Gamma = 30 \text{ cm}^{-1}$.

C.A. 1973, 78 n18

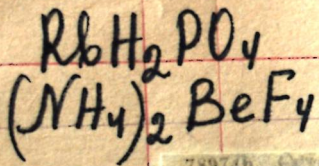
Trifluoroacetyl 2 X last
memorandum 1974

86:128531s Thermodynamic properties of divalent-metal pyrophosphates. Beglov, B. M. (USSR). Deposited Doc. 1974, VINITI 590-74, 10 pp. (Russ). Avail. BLLD. By using the equation of L. A. Reznitskii (1961) of linear dependence of formation enthalpy ΔH_{298} of metal pyrophosphates on electrode potential of the metal, the ΔH_{298} and free energies were calcd. for $M_2P_2O_7$ having M = divalent metal ion or H. The calcd. results agree with the exptl. values.

ΔH_f

C.A. 1977. 86 n18

1974



78974b Cryostat for x-ray diffraction and optical studies of single crystals in the temp., are range of 160-300°K. Boiko, A. A.; Mulkhin, K. Yu.; Suvorov, F. V. U.S.S.R. Pat. Metody Rennognoschogo Anal. 1973, 18, No. 3 (Byull. Izobret.) Cryostat with N as a coolant is described for x-ray diffraction and polarization-optical studies of crystals (16 x 16 x 1 mm) at 160-300°K. The temp. fluctuations were $\leq \pm 0.5^\circ\text{K}$ and N consumption was $\leq 400 \text{ cm}^3/\text{hr}$. The ferroelec. phase transitions of RbH_2PO_4 and $(\text{NH}_4)_2\text{BeF}_4$ were studied in the cryostat. The cryostat can also be used for Laue diffraction and inverse Laue diffraction studies.

(Ttr)

+1

C.A 1975 82 N 12

RbPO₄

ВХ-8509

1974

CuPO₄

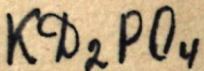
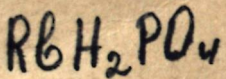
20 Б778. Исследование бинарной системы RbPO₃—Cu(PO₃)₂. Läßt Marguerite. Etude du système binaire RbPO₃—Cu(PO₃)₂. «C. r. Acad. sci.», 1974, C278, № 19, 1197—1200 (франц.)

Методами ДТА и рентгенографии изучена система RbPO₃—Cu(PO₃)₂. В системе установлено образование двух соединений CuRb(PO₃)₃ (I) и Cu₃Rb₂P₈O₂₄ (II). I и II перитектически разлагаются при 585 и 620° соотв. Эвтектика в системе имеет координаты ~24 мол. % Cu(PO₃)₂ и 560°. При 405° происходит полиморфное превращение $\beta\text{-RbPO}_3 \rightarrow \alpha\text{-RbPO}_3$, а т. пл. $\alpha\text{-RbPO}_3$ и Cu(PO₃)₂ составляет 807 и 926° соотв. Рентгенографич. исследование монокристалла II, выращенного из смеси 2CuCO₃·Cu(OH)₂+Rb₂CO₃+8(NH₄)₂HPO₄ при 820°, свидетельствует о принадлежности II к трикл. сингонии. Параметры элементарной ячейки II $a = 9,797$, $b = 8,035$, $c = 7,256$ Å, $\alpha = 80,93^\circ$, $\beta = 110,35^\circ$, $\gamma = 110,48^\circ$, ρ (рентг.) $= 3,292$ г/см³, $Z = 1$, ф. гр. $\bar{P}1$. Из структурных факторов установлено, что II является октаметафосфатом и приведены значения I , d и hkl рентгенограммы порошка II.

А. В. Салов

2.1974.№20

1974



$$(T_{\text{Hz}})$$

137802j NMR study of high temperature phase transitions in potassium dihydrogen phosphate-type crystals. Nicholson, J. V., III; Soest, J. F. (Dep. Phys., Coll. William and Mary, Williamsburg, Va.). *J. Chem. Phys.* 1974, 60(2), 715-16 (Eng). NMR studies showed that RbH₂PO₄ and KD₂PO₄ undergo nondestructive high-temp. transitions, these being very likely from a tetragonal to a monoclinic crystal form. The remaining compds. investigated, KH₂PO₄, RbH₂AsO₄, CsH₂AsO₄, and NH₄H₂PO₄, exhibit proton line width narrowing at or below their decompr. or m.ps. In CsH₂AsO₄ and RbH₂AsO₄, this effect is probably due to the slow decompr. of the crystal at a lower temp. than previously noted. The rather abrupt change in proton line width at ~175° obsd. for KH₂PO₄ is not as yet well understood.

(Cue.: KH₂PO₄; I)
 +1 X

C.A. 1974. 80. N24

RbPO₃

23 Б787 Деп. Масс-спектрометрическое исследование процесса парообразования метафосфата рубидия. Ратьковский И. А., Ашуйко В. А., Урих В. А., Синяев В. А. (Редколлегия Ж. физ. химии. АН СССР). М., 1974. 8 с., библиогр. 11 назв. (Рукопись деп. в ВИНИТИ 30 июля 1974 г., № 2103-74 Деп.).

1974

Масс-спектрометрическим методом в сочетании с эффузионной ячейкой Кнудсена определен состав и измерено давл. компонент пара, образующегося при нагревании в глубоком вакууме RbPO₃. Исследование проводилось в платиновых эффузионных ячейках в температурном диапазоне 1142—1308° К. Показано, что паровая фаза состоит из молекул RbPO₃. Давл. насыщ. пара удовлетворительно описывается ур-нием: $\lg p \text{ (мм)} = -10,0220 - 13,633/T$. Термодинамич. характеристики процесса сублимации составили: $\Delta H^\circ_T = 62,4 \pm 1,6 \text{ ккал/моль}$, $\Delta S^\circ_T = 32,67 \pm 0,8 \text{ э. е. и } \Delta H^\circ_{298} = 73,9 \pm 1,6 \text{ ккал/моль}$, $\Delta S^\circ_{298} = 49,5 \pm 1,0 \text{ э. е.}$ Рассчитанные теплота и энтропия испарения RbPO₃ равны соотв. $-223,8 \pm 3,9 \text{ ккал/моль}$ и $76,77 \pm 1,5 \text{ э. е.}$

Автореферат

$\Delta H^\circ_T, \Delta S^\circ_T$

ΔH°_{298}

ΔS°_{298}

$\Delta H_V, \Delta S_V$

ж. 1974. № 23

ВФ-8601-X

Омский Деп № 23

RbPO₃

X-8601

1974

(P, ΔH_v, ΔS_v, ΔH_f, ΔS₂₉₈[°], ΔH_s, ΔS_s)

77772d Mass spectrometric study of rubidium metaphosphate vapor formation. Rat'kovskii, J. A.; Ashuiko, V. A.; Urikh, V. A.; Sinyaev, V. I. (Beloruss. Tekhnol. Inst. im. Kir'yak., Minsk, USSR). Zh. Fiz. Khim. 1974, 48(11), 2887 (Russ). Addnl. data considered in abstracting and indexing are available from a source cited in the original document. Mass-spectroscopic and effusiometric Knudsen methods were used to detg. the vapor pressure over RbPO₃ [14640-60-9]. Between 1142 and 1308°K, the vapor phase contains only RbPO₃. Thermodyn. values of evapn. are $\Delta H^\circ = 62.4 \pm 1.6$ kcal/mole, $\Delta S^\circ_{1225} = 32.7 \pm 0.8$ e.u., and of RbPO₃ sublimation $\Delta H^\circ_{1000} = 66.3 \pm 1.6$ kcal/mole and $\Delta S^\circ_{1000} = 36.4 \pm 1$ e.u. The heats and entropies of RbPO₃ formation are $\Delta H^\circ_{298} = -227 \pm 1$ kcal/mole, $S^\circ_{298} = 79.1 \pm 1.1$ e.u.

V. Tukarek

C.A. 1975. 82 n 12

Rb₄P₆

1974

19 Б502. Rb₄P₆, фосфид с плоскими шестичленными кольцами из атомов фосфора. Schmettow Walter, Lipka Appenget, Schnering Hans Georg von. Rb₄P₆, ein Phosphid mit planaren Phosphor-Sechsringen. «Angew. Chem.», 1974, 86, № 10, 379—380 (нем.)

смесь

Взаимодействием металлич. Rb с красным P в ат. отношении 1 : 2,5 при 450° в течение 48 час. в присутствии небольшого кол-ва S получен черный Rb₄P₆ (I). I моментально гидролизуется на воздухе. Кристаллы ромбич., ф. гр. *Fm̄3m*, параметры решетки (камера Гинье): *a* 9,641, *b* 14,629, *c* 9,009 Å, *Z*=4. Структура определена прямыми методами (*R*=0,065). Приведены координаты атомов. Структура может быть представлена как дефектный упорядоченный вариант структурного типа AlB₂ (упорядочение вакансий, образующихся за

X. 1974 N 19

счет удаления каждого четвертого атома В). В структуре выделены изолированные плоские шестичленные циклы из атомов Р. Каждый атом Р связан с 2 атомами Р, а также окружен 6 атомами Rb, образующими вокруг него тригон. призму. Расстояния Р—Р в слое 2,149—2,250 Å, расстояния между слоями 3,7 Å. В отличие от структуры AlB₂ атомы Rb расположены не точно в плоскости слоя. В структуре можно выделить гексагонально-бипирамидальные группы Rb₂P₆, связанные между собой через атомы Rb. Атомы Rb (1) окружены 10 (Rb—P 3,56—3,55 Å), Rb (2)—8 атомами Р (Rb—P 3,56—3,62 Å). I, а также изотипный ему K₄P₆ являются первыми примерами соединений, в которых все атомы Р образуют связи лишь с 2 атомами Р, что может привести к наличию у них металлич. проводимости.

М. Б. Варфоломеев

RbH_2PO_4 ; RbD_2PO_4 1974

Strukov B. A.

Vaks G. G., et. al.

"Ferroelectrics" 1974, 7, N
1-4, 195-197 (anals).

(and KH_2PO_4 ; I)



2. 1975. N11

$\overline{BX}-8957$

Cp.

св-ва

фазов.

переход.

1974

RbH₂PO₄

(aq)

141814c Thermodynamics of rubidium dihydrogen phosphate and rubidium dideuterium phosphate in water and heavy water. Vorob'ev, A. F.; Monaenkova, A. S.; Mishchenko, A. V.; Rashkovich, L. N. (Mosk. Gos. Univ. im. Lomonosova, Moscow, USSR). *Izv. Vyssh. Ucheb. Zaved., Khim. Khim. Tekhnol.* 1974, 17(5), 673-6 (Russ). In D₂O, the std. heats of soln. at 298.15°K were $\Delta H = 5.15, 4.78, 4.75,$ and 4.65 kcal/mole for 0, 70, 90 and 99% deuterated RbH₂PO₄, resp. In H₂O, $\Delta H = 3.54$ and 3.91 kcal/mole for 0 and 70% deuterated RbH₂PO₄, resp.

C. E. Stevenson

C. A. 1974. 81 w 22

$Rb PO_3$

$(Rb PO_3)_2$

1975

Aliktanyan A. S.

Dokl Akad. Nauk

ΔH_{free}

SSSR 1975, 222 (3)

ΔH_v

629-32 (Russ)

P

(cui $Li PO_3$; I)

BX-9656

1975

Rb H₂PO₄

8 Б601. Исследование спин-решеточной релаксации Rb⁸⁷ в RbH₂PO₄ при переходе в сегнетоэлектрическую фазу. Blinc R., Mali M., Zumer S. ⁸⁷Rb spin-lattice relaxation study of the ferroelectric phase transition in RbH₂PO₄. «J. Chem. Phys.», 1975, 63, № 7, 2898—2900 (англ.)

Измерены зависимости времени спин-решеточной релаксации RbH₂PO₄ от т-ры для перехода $1/2 \rightarrow 1/2$ Rb⁸⁷ в лаб. (T_1) и вращающейся ($T_{1\rho}$) системах координат. Показано, что T_1 и $T_{1\rho}$ увеличиваются при понижении т-ры от комн. до перехода в сегнетоэлектрич. фазу T_c , а затем уменьшаются, причем в момент перехода T_1 резко возрастает от ~ 150 до 330 мсек. Отмечено, что наблюдающаяся скорость релаксации T_1^{-1} определяется вкладом двух разных эффектов: быстрой релаксации, связанной с сегнетоэлектрич. фазовым переходом при $T_c = 146^\circ\text{K}$, и медленной высокот-рной релаксации. Из измеренной величины $(T_1)_a$ время корреляции τ_a составляет $= 4 \cdot 10^{-13}$ сек при 200°K и имеет величину такого же порядка как в сегнетоэлектрике KН₂РО₄, а $\tau_b = 5 \cdot 10^{-6}$ сек ($T = 293^\circ\text{K}$). И. В. Мирошниченко.

(T_{ta})

X 1976 N 8

RbH₂PO₄

1975

(Ttr)

123716j Anomalous increase in the nuclear spin relaxation rates in ferroelectric rubidium dihydrogen phosphate. Gupta, L. C.; Vijayaraghavan, R.; Ripmeester, J. A.; Garg, S. K. (Tata Inst. Fundam. Res., - Bombay, India). *J. Phys. Soc. Jpn.* 1975, 38(6), 1784 (Eng.). Measurements were made of the spin-lattice relaxation time T_1 of ^{87}Rb and the dipolar spin-lattice relaxation time T_{1D} of ^1H in RbH₂PO₄ ($T_c = 147^\circ\text{K}$) in the paraelec. and ferroelec. phases. The measurements were made at 10 MHz, by using single crystals with the C axis perpendicular to H_0 . The data are plotted vs. temp., $\sim 110 \sim 225^\circ\text{K}$. There is an anomalous increase of the relaxation rates as $T \rightarrow T_c$. A mechanism is proposed: the anomaly results from the crit. slowing down of the ferroelec. mode.

C.A. 1975, 83 n 14

1975

$Rb_3 PO_4$

Кушнур С.В. и гр.

Беслан. обл. Таджикской ССР,
1975, 35, 34-8.

(ΔH_f)



(ав $C_3 PO_4$) 1

RbPO₄

1975

Savchenko M. A.
Kubasova Z. V.

(Ttr)

Izv. Akad. Nauk SSSR,
Neorg. Mater. 1975, 11(12)
2200-2 (Russ)

(an RbAg(PO₃)₂; I)

RbD_2PO_4

Tomas Alain.
Herpin Paulette.

1975

(T_{tr})

Bull. Soc. Fr. Mineral
Cristallogr. 1975, 98(6)

341-6 (F_2)

(cu KD_2PO_4 ; I)

RB_xH_{1-x})₂PO₄

1975

(T₂)

Volkova & N.

Izv. Akad Nauk SSSR
Ser. Fiz. 1975, 39(4)
787-90 (russ)



T
(all R_xH_{1-x})₂PO₄)

RbPO_3

Kat'kovskii Y. A.
Ashurova V. A.

-1976

$(P, \Delta H_V, \Delta H_S)$

Zvez. Vyssh. Uchebn. Zaved
Khim. Khim Tekhnol,
1976, 19(5) 675-7 (russ)

[BP-9964- \bar{x}]

(all LiPO_3 ; I)

RbPO₃

(BP - 9832-X, an. 36978) 1976

Райковский И.А., Ашурко В.А.
и др.,

1H⁰₂₉₈, В сб. "Химия и хим. технологии"
Берн. 10, Минск, "Белгизиум-
искусства", 1976, 3-25

RbH₂PO₄

1976

Gp, Tt?

89: 35095z On the ferroelectric phase transition in rubidium hydrogen phosphate (RbH_2PO_4). Singh, G. P.; Basu, B. K. (Tata Inst. Fundam. Res., Bombay, India). *Proc. Nucl. Phys. Solid State Phys. Symp.* 1976, 19C, 272-4 (Eng). Short-range interactions among the protons in RbH_2PO_4 are taken into account in a novel way within the mean field approxn. to provide an explanation for the obsd. sp. heat anomaly, the transition entropy, and the Curie const. In the authors view, the effect of short-range interactions is to produce a coherence in the motion of nearest-neighbor protons. The constraints of coherence lead to a redn. in the effective no. of pseudo spins in the system. Exptl. and calcd. data agree well.

C.A. 1978, 89, N4

RbD₂PO₄

1976

Tomas Alain, et al.

(T_{fz})

Bull. Soc. franç. minér. et
cristallogr., 1975(1976) 98,
N°, 341-6.

(Ca K D₂PO₄)₅

Rb_2HPO_4
 RbH_2PO_4

1944

Beglov B. M.

Uzv. Akad. Nauk SSSR,
(NaHgCuP_2) Neorg Mater. 1944, 13(12),
2236-41 (Russ)

corr. Li_2HPO_4 - I

Rb Pd₃

1977

Бенев Б. М.

Муз. АН СССР Георгий
"мастера", 1944, 13, № 12,
2236-2241.

SH, SS,
S8

ав. Li Pd₃-I

RbPO₃

1977

Сибирский А. В. и гр.

(пермог.
уставиц.)

M. неопр. X VIII. 1977,
22, N°, 23-6.

(au. ZrPO₃; I)

RbH_2PO_4

$Rb_2H_2P_2O_7$

$\underline{Rb PO_3}$

$(\Delta H_f^{\circ} f_{298})$

1977

Bækkel A. II. upg.

Teg. gokel. - $7^{\frac{as}{as}}$ Bee.

KOMPS. uo KZL0juell.

31/I-77 - 3/II-77, H21;
82-3.

RBH_2PO_4

1978

Bastie P, et al.

(Tr)

J. Phys. 1978, C11, N6,
1203-16



att. $\text{CH}_2\text{PO}_4-\bar{1}$

РБ РГб

1948

Чиполимов Е. Г. и др.

T_m ; T_{t_2}

5-й Всесоюз. симпоз. по химии
полик. фторидов, Днепро-
петровск, 1948, с.л., 1948, 132

с.н. КАС РГб - I

RbH₂PO₄

БХ-1371

1978

D 20 Б940. Дифференциальная сканирующая калориметрия RbH₂PO₄ и CsH₂PO₄. Metcalfe B., Clark J. B. Differential scanning calorimetry of Rb-H₂PO₄ and CsH₂PO₄. «Thermochim. acta», 1978, 24, № 1, 149—153 (англ.)

С помощью дифференциального сканирующего калориметра исследованы высокотрные фазовые переходы в сегнетоэлектрич. кристаллах RbH₂PO₄ (I) и CsH₂PO₄ (II). Найдено, что I в интервале от 80° до т-ры разл. испытывает один фазовый псевдообратимый переход в области 86—111° с энталпиией 46 665 дж/моль. Других переходов, о к-рых сообщалось ранее, не обнаружено. В II найдено два перехода: первый псевдообратимый при 149°, а второй при 230°. Разл. II начинается при т-ре выше 250°. Энталпии превращений в II равны 1071 и 7615 дж/моль соответственно. Г. Л. А.

Tt2

Б7

Х-1978, № 20

1978

*RbH₂PO₄**CsH₂PO₄*

89: 12936k Differential scanning calorimetry of rubidium dihydrogen phosphate and cesium dihydrogen phosphate. Metcalfe, B.; Clark, J. B. (Natl. Phys. Res. Lab., Counc. Sci. Ind. Res., Pretoria, S. Afr.). *Thermochim. Acta* 1978, 24(1), 149-53. (Eng). The high-temp. phase behavior of RbH₂PO₄ [13774-16-8] and CsH₂PO₄ [18649-05-3] were studied. RbH₂PO₄ undergoes a single quasi-irreversible phase transition with an enthalpy of 4.665 kJ mol⁻¹. The transition occurs at 86-111°. CsH₂PO₄ undergoes 2 transitions at 149 and 230°. The lower one is quasi-irreversible and has an enthalpy of 4.284 kJ mol⁻¹. The one at 230° is reversible and has an enthalpy of 1.071 kJ mol⁻¹.

(71) □

C.A. 1978, 29, N2

1078
 RbH_2PO_4

RbD_2PO_4

88: 111395u Enthalpies of reciprocal transitions of monoclinic and tetragonal modifications of rubidium dihydrogen phosphate and rubidium dideuterium phosphate. Monaenkova, A. S.; Vorob'ev, A. F.; Pashlova, E. B.; Rashkovich, L. N.; Buznik, T. L. (Mosk. Gos. Univ., Moscow, USSR). *Zh. Obshch. Khim.* 1978, 48(1), 3-6 (Russ). The heats of soln., ΔH_s , of both monoclinic and tetragonal modifications of RbH_2PO_4 [13774-16-8] and RbD_2PO_4 [13775-96-7] in H_2O and D_2O , for each salt resp., were detd. calorimetrically at 298.15 K. From ΔH_s values, the calcd. heats of monoclinic-tetragonal phase transitions are -0.89 ± 0.06 and -0.50 ± 0.05 kcal/mol for RbH_2PO_4 and RbD_2PO_4 , resp.

sH_{aq}, sH_{t?}

CA, 1978, 8, N16

RbH₂PO₄

1978

8 Б706. Энталпии взаимных переходов моноклинной и тетрагональной модификаций RbH₂PO₄ и RbD₂PO₄. Монаенкова А. С., Воробьев А. Ф., Пашлова Е. Б., Рашкович Л. Н., Бузник Т. Л. «Ж. общ. химии», 1978, 48, № 1, 3—6

Калориметрически определены энталпии р-рения (ΔH) кристаллов RbH₂PO₄ (I) и RbD₂PO₄ (II) моноклинной (МК) и тетрагональной (ТГ) модификаций, полученных различными методами, соотв. в H₂O и D₂O при т-ре 298,15 К. Степень дейтерирования II составила 100% для МК и 41 и 62% для ТГ модификаций. Полученные значения ΔH (при конц-ии соли 1 : 100)

(д/наф)

Х, 18, 1978

100% D) линейной экстраполяцией получено $\Delta H = 4,51 \pm 0,05$ ккал/моль. По этим результатам вычислены энталпии взаимных переходов между МК и ТГ модификациями для I $-0,89 \pm 0,06$ и для II $-0,50 \pm 0,05$ ккал/моль.

Л. В. Арсеенков

1978

RbH₂PO₄

19 Б961. Фазовые равновесия при высоких давлениях для RbH₂PO₄, CsH₂PO₄ и KD₂PO₄. Raport Eliezer, Clark J. B., Richter P. W. High-pressure phase relations of RbH₂PO₄, CsH₂PO₄ and KD₂PO₄. «J. Solid State Chem.», 1978, 24, № 3—4, 423—433 (англ.)

*разработано
распространено
(Tm)*

При давл. до 40 кбар и т-рах от —250 д. 500 К методами ДТА и дифракции рентгеновских лучей, а также объемнотермич. методом исследованы фазовые равновесия тв.-тв. и тв.-жидк. для RbH₂PO₄ (I), CsH₂PO₄ (II) и KD₂PO₄ (III). Повышенные давл. применены для подавления дегидратации и разл. исследованных в-в и распространения пределов их устойчивости выше т. пл. Полученные диаграммы фазовых равновесий сопоставлены с известной диаграммой для KH₂PO₄ (IV) и выявлены изоструктурные с IV тв. фазы для I и III: сегнетоэлектрич. ромбич. фаза Fdd2, параэлектрич. тетрагон. фаза $I\bar{4}2d$ и метастабильная монокл. фаза. Фазо-

42

A

X.1978, N19

вая диаграмма для II существенно отлична; наблюдается паразелектрич. монокл. фаза C_{2h}^2 — $P2_1/m$. Отмечается, что дейтеририрование IV существенно повышает точку Кюри и понижает т-ру перехода тетрагон. фазы в монокл. Кривая плавления для III существенно ниже, чем для IV, со сдвигом давл. на 5 кбар при 30 кбар. Обнаруженный большой изотопный эффект для III—IV согласуется с изотопными эффектами для H_2O и D_2O .

В. Г. Юркин

1978

*RbH₂PO₄**RbD₂PO₄**фазовый
переход*

(+) ◻

◻

x. 1978, N 19

19 Б958. Высокотемпературный фазовый переход в RbH_2PO_4 , KD_2PO_4 и KH_2AsO_4 . Shariga Y., Levin S., Gerlich D., Zapitko S. High-temperature phase transition in RbH_2PO_4 , KD_2PO_4 and KH_2AsO_4 . «Ferroelectrics», 1978, 17, № 3—4, 459—464 (англ.)

Путем измерения в диапазоне 300—500 К т-рных зависимостей диэлектрич. постоянной, электропроводности и ИК-спектров исследован высокотрный фазовый переход в монокрист. RbH_2PO_4 (I), KD_2PO_4 (II) при различных конц-иях дейтерия, и KH_2AsO_4 (III). Показано, что I и II с конц-ией дейтерия выше 74% обладают собственным высокотрным фазовым переходом, связанным со структурным изменением крист. решетки. Для I т-ра перехода лежит в интервале между 345 и 375 К и в большой степени зависит от дефектности решетки. Для II т-ра перехода уменьшается линейно от 453° К при возрастании конц-ии дейтерия. При конц-ии дейтерия в II меньше 74% т-ра перехода постоянна и равна 453 К. Возможно, что переход в II связан с выделением паров воды. Не обнаружено фазового перехода в III.

Резюме

RbH₂PO₄

1978

Ttr

88: 82542g Ultrasonic propagation near the ferroelectric phase transition temperature in rubidium dihydrogen phosphate. Singh, G. P.; Basu, B. K. (Tata Inst. Fundam. Res., Bombay, India). *Phys. Lett. A* 1978, 64A(4), 425-8 (Eng). The ferroelec. phase transition in RbH₂PO₄ was studied by measuring the temp. dependences of the velocity and attenuation of longitudinal ultrasonic waves along the polar axis. The velocity data were analyzed to obtain the temp. dependence of the soft-mode frequency in the ferroelec. phase. Unlike KH₂PO₄ and KD₂PO₄, the attenuation in RbH₂PO₄ does exhibit relaxation-type behavior.

C.A. 1978, 88, 112

RbH_2PO_4

Summer 1979

1979.

Pacey R. A.; Clark J.

(Ter's Her) Thermoclin. acuta,

1979, 30, 115 - 26

KH₂PO₄, KD₂PO₄, R₆H₂PO₄, 1979
CsH₂AsO₄, CsD₂AsO₄ (Tt₂) 10450-X

Тереверзева Л.П., Доларова Е.Н.

9-е Всер. собес. по сеностоэлектричеству,
Ростов-на-Дону, 1979. Пр. докт. Ч.Г. Родоб-
ко-Дону, 1979, 118

Высокотемпературные "фазовые переходы" в
сеностоэлектрических шинах KDP.

РЖХим, 1980

46989



5 ♂

R642 P04 10360-8 1979

(Tt₂) Samara I. A.

Ferroelectrics,

1979, 22, N3/4, 925

RbH₂PO₄

1040

18 Б959. Взаимодействие продольной акустической моды с параметром порядка и его влияние на сегнетоэлектрический фазовый переход в RbH_2PO_4 . Singh G. P., Singh Surjit. Acoustic longitudinal mode coupling to the order parameter and its effect on the ferroelectric phase transition in RbH_2PO_4 . «J. Phys.», 1979, C 12, № 6, 995—1002 (англ.)

Изучен сегнетоэлектрич. фазовый переход в RbH_2PO_4 (I). Св-ва I описаны на основе модели электрострицк. взаимодействия продольной акустич. моды (колебания вдоль полярных осей) с параметром порядка. Гамильтониан модели аналогичен гамильтониану псевдоспиновой модели сегнетоэлектрич. фазового перехода в KH_2PO_4 . Используя метод ф-ций Грина и приближение хаотич. фазы, получены выражения для скорости акустич. колебаний в сегнетоэлектрич. фазе. Обнаружено хорошее совпадение между эксперим. и теор. данными. Термодинамич. св-ва I при переходе рассмотрены с точки зрения дополнительного вклада в протон-протонное взаимодействие, возникающего в результате взаимодействия колебаний решетки с параметром порядка.

Г. Л. Апарников

Х. 1049, N18

RbH₂PO₄

1980

17 Б986. Экстинкция и сегнетоэлектрический переход в RbH₂PO₄. Becker P., Bastie P., Lajzerowicz J. Extinction and ferroelectric transition in RbH₂PO₄ «Electron and Magn. Densities Mol. and Cryst. Lect. NATO Adv. Study Inst. Arles, 1978». New York—London, 1980, 231—234 (англ.)

С помощью рентгенографич. метода исследована т-раная зависимость изменения коэф. отражения в направлениях (200) и (600) соединения RbH₂PO₄ вблизи его т-ры перехода (144,92 K) из пара- в сегнетоэлектрич. фазу. Показано, что экстинкция возникает из-за статич. дефектов и вследствие динамич. эффектов вблизи перехода.

В. А. Ступников

(Tr)

Х 1980 № 17

1980

RbH₂PO₄

(T_{tr})

94: 10174q Structural studies of rubidium dihydrogen phosphate in its paraelectric and ferroelectric phases. Kennedy, N. S. J.; Nelmes, R. J. (Dep. Phys., Univ. Edinburgh, Edinburgh, Scot. EH9 3JZ). *J. Phys. C* 1980, 13(26), 4841-53 (Eng). The crystal structure of RbH₂PO₄ was detd. using neutron diffraction at room temp. and 152 K in the tetragonal (paraelec.) phase using single-crystal samples. The crystal structure was also detd. at 77 K in the orthorhombic (ferroelec.) phase using neutron powder-diffraction methods. The results for both phases are compared with those obtained from similar studies of KH₂PO₄. The sepn. of the disordered proton sites in the tetragonal phase is larger in RbH₂PO₄ (by ~0.05 Å); yet the H-bond lengths differ by only 0.003 Å, and the transition temp. by only ~20 K.

2. A. 1981. Q4, v2

RbH₂PO₄

*Кристал.
структ.*

X. 1981 N 8

8 Б457. Структурное исследование RbH₂PO₄ в пара-электрической и сегнетоэлектрической фазах. Кеппен-ди N. S. J., Nelmes R. J. Structural studies of RbH₂PO₄ in its paraelectric and ferroelectric phases. «J. Phys. C: Solid State Phys.», 1980, 13, № 26, 4841—4853 (англ.)

Соединение RbH₂PO₄, также как и KН₂PO₄, существует в виде двух полиморфных модификаций: устойчивой в обычных условиях тетрагон. параэлектрич. (I) и низкот-рной ромбич. сегнетоэлектрич. (II); т-ра перехода T_c 131 К. Проведено нейтронографич. (метод монокристалла, МНК, анизотропное приближение) уточнение структуры I при комн. т-ре (λ 1,180 Å, $R=0,033$ для 141 отражения) и при т-ре $T_c + 5$ К (λ 1,075 Å, $R=0,046$ для 128 отражений) и структуры II при т-ре 77 К (метод порошка, λ 1,433, профильный анализ, МНК, $R=0,0565$ для 128 отражений). Параметры решетки: I при комнатной т-ре a 7,607, c 7,299 Å, при $T_c + 5$ К a 7,586, c 7,254 Å, ф. гр. I $42d$; II при т-ре 77 К a 10,800, b 10,672, c 7,242 Å, ф. гр. $Fddd$. Установлена изоструктурность I и II соотв. с пара- и ферромагнитной модификациями KН₂PO₄. Межатомные

расстояния в I (при комн. т-ре Р—О 1,536 Å, О...О 2,498, О—Н 1,040, Н—Н 0,420; при $T_c + 5\text{K}$ Р—О 1,545 Å, О...О 2,486, О—Н 1,051, Н—Н 0,387) весьма близки к межатомным расстояниям в парамагнитной KH_2PO_4 . Наблюдается аналогичное изменение этих расстояний с понижением т-ры. В обоих соединениях расстояние О...О сокращается на 0,01 Å, что сопровождается соответствующим уменьшением расстояния Н—Н и увеличением О—Н. Заметное уменьшение параметра a при понижении т-ры происходит вследствии вращения тетраэдров PO_4 вокруг оси x . Характер тепловых колебаний атомов Rb практически не изменяется при понижении т-ры, в то время как тепловые колебания атомов Р становятся более анизотропными. Межатомные расстояния в II Р—О 1,51, 1,59, О...О 2,491—2,554, О—Н 1,05 Å. Предполагается, что переход I \rightarrow II связан с упорядочением протонов.

С. В. Соболева

1980

RbH_2PO_4

KH_2PO_4

PbHPO_4

разовьё
переходы.
кристал.
структур



(+2)

X, 1980 № 23

23 Б331. Роль определения кристаллической структуры в исследовании структурных фазовых переходов. Nelmes R. J. The role of crystal-structure determination in the study of structural phase transitions. «Ferroelectrics», 1980, 24, № 1—4, 237—245 (англ.)

Показано, что точное определение крист. структуры играет гораздо более существенную роль в исследовании структурных фазовых переходов, чем обычно считалось. Представлены нек-рые современные результаты для RbH_2PO_4 , KH_2PO_4 , PbHPO_4 , а также для нек-рых перовскитов. Идея обычной неупорядоченности в сегнетоэлектриках с Н-связями является весьма проблематичной.

Резюме

Rb(D_{0.5}H_{0.5})₂PO₄

1980

Ttr

93: 123906c Elastic properties of deuterated rubidium hydrogen phosphate ($\text{Rb}(\text{D}_{0.5}\text{H}_{0.5})_2\text{PO}_4$) in the 290-320 K range. Reshchikova, L. M.; Mishchenko, A. V.; Nizhnikova, V. O.; Krysin, V. A. (Omsk. Gos. Pedagog. Inst., Omsk, USSR). *Kristallografiya* 1980, 25(4), 874-5 (Russ). The phase transitions in $\text{Rb}(\text{D}_{0.5}\text{H}_{0.5})_2\text{PO}_4$ at 290-320 K were studied by detn. of the elastic properties. Phase transitions occur at 301 and 308.6K. At 301 K, there is a spontaneous deformation in the plane perpendicular to the z-axis.

CA 1980 93 N 12

$Rb(D_xH_{1-x})_2PO_4$

1980

№ 10 Е796. Фазовые переходы в кристаллах $Rb(D_xH_{1-x})_2PO_4$ в области температур 290—320° К. Решникова Л. М., Мишенко А. В., Нижников В. О., Крысин В. А. «Физ. тверд. тела», 1980, 22, № 6, 1881—1883

фазовые
переходы

Исследованы упругие свойства $Rb(D_xH_{1-x})_2PO_4$ ($x = 0,33; 0,44$ и $0,81$) в области т-р 290—320° К. У кристаллов с $x = 0,84$ при т-ре $T_1 = 301$ ° К скорость V_2 и упругая постоянная C_{33} испытывают скачок. Скорость V_1 и константа C_{11} не меняются. При т-ре $T_2 = 308$ ° К наблюдалась аномалии на температурных зависимостях скоростей V_3 и V_4 . Эти данные свидетельствуют о наличии двух фазовых переходов при 301 и 308° К. Изотопное замещение водорода дейтерием оказывает существенное влияние на характер этих переходов.

φ. 1980 г. 10

$Rb(D_xH_{1-x})_2PO_4$

1980

93: 85729n Phase transitions in rubidium deuterium hydrogen phosphate ($Rb(D_xH_{1-x})_2PO_4$) crystals in the 290-320 K range. Reshchikova, L. M.; Mishchenko, A. V.; Nizhnikova, V. O.; Krysin, V. A. (Omsk. Pedagog. Inst., Omsk, USSR). *Fiz. Tverd. Tela (Leningrad)* 1980, 22(6), 1881-3 (Russ). Phase transitions in $Rb(D_xH_{1-x})_2PO_4$ were studied by ultrasonic attenuation. Transitions occurred at 301 and 308 K, one of which may be a ferroelec. transition.

Htz

CA 1980 93 n 8

R.B.Ha.P.DY 10357-X 1980
Schmidt V.H.;
(Ttr) Schnackenberg P.J.
"sp."

Ferroelectrics. 1980, 24,
N.Y., 275-280

4 Б965. Двупреломление и фазовый переход в
 RbH_2PO_4 . Troussaut F., Vallade M. Birefringence
studies of the phase transition in RbH_2PO_4 . «J. Phys.
C: Solid State Phys.», 1980, 13, № 25, 4649—4655
(англ.)

1980

Вблизи т-ры магнетоэлектрич. фазового перехода, происходящего в RbH_2PO_4 (I) при 144 К, проведены измерения диэлектрич. постоянной и двупреломления. Двупреломление измерялось как функция т-ры и электрич. поля в диапазоне 0,1—2,86 кВ/см. Луч света от лазерного источника с длиной волны 0,6328 мкм вводился в монокристалл вдоль c -оси, поляризатор и анализатор располагались параллельно тетрагональным осям a_1 и a_2 . Обнаружено, что двупреломление пропорционально параметру порядка, изменение параметра порядка описывается феноменологич. теорией Ландау для фазовых переходов 2-го рода с учетом того факта, что превращение по своему характеру близко к трикрит. Обсуждены причины принадлежности перехода к крит. превращениям, описываемым моделью среднего поля, в то время как I принадлежит к классу сегнетоэлектриков-сегнетоэластиков, для к-рых теорияrenomализации групп предсказывает классич. поведение.

Г. Л. Апарников

Ttr

2.1981-NY

RbD₂PO₄

1982

I E704. Влияние изотопов на фазовые переходы в моноклинном $\text{Rb}(\text{D}_{1-x}\text{H}_x)_2\text{PO}_4$. Isotope effect of monoclinic $\text{Rb}(\text{D}_{1-x}\text{H}_x)_2\text{PO}_4$ on the phase transitions. Sumita Minoru, Osaka Toshio, Makita Yasu-Hagi. «J. Phys. Soc. Jap.», 1982, 51, № 5, 1343—1344 (англ.)

T_I,

В одной из предшествующих работ авторами (J. Phys. Soc. Japan., 1981, 50, 154) описана последовательность двух фазовых переходов ($T_I = 104^\circ\text{C}$ и $T_{II} = 44^\circ\text{C}$) в RbD_2PO_4 , свойства и кристаллическая структура вблизи соответствующих температур. С тем, чтобы выяснить, какую роль играет дейтерирование в формировании критического поведения, проведены измерения диэлектрической постоянной в $\text{Rb}(\text{D}_{1-x}\text{H}_x)_2\text{PO}_4$ вдоль оси b в ин-

Ф. 1983, 18, N 1

тервале т-р от -190 до 160°C . По данным измерений построены температурные зависимости диэлектрической постоянной ϵ_{ν} при разных величинах конц-ии атомов водорода x . ϵ_{ν} ведет себя различным образом вблизи T_1 и T_{II} : пик ϵ_{ν} , имеющийся в температурной зависимости в окрестности T_{II} , величина которого убывает с ростом x , сменяется практически плавной зависимостью при подходе к T_1 . Важным обстоятельством является довольно сильная зависимость T_{II} от x — на 18% при $x=0,7$ и только слабое возрастание T_1 с увеличением x . Обсуждается роль туннелирования протонов вблизи T_1 и T_{II} .

И. О. Майер

RbH₂PO₄

1982

6 Б621. Кристаллическая структура дейтерированного RbH₂PO₄ при комнатной температуре. The crystal structure of deuterated RbH₂PO₄ at room temperature. Tibballs J. E., Zhong W.-L., Neimès R. J. «J. Phys. C: Solid State Phys.», 1982, 15, № 21, 4431—4436 (англ.)

Нейtronографически изучены (λ 1,1846 Å, МНК, R 3,20% для 136 отражений) кристаллы дейтерированного аналога RbH₂PO₄ состава Rb(H_{0,45}D_{0,55})₂PO₄ (I). Параметры тетрагон. решетки: a 7,618 Å, c 7,310. Длина Н-связи между тетраэдрами в структуре I 2,511 Å. По этому значению аппроксимирована величина Н-связи в полностью дейтерированном аналоге, равной 2,522 Å.

С. В. Соболева

кристал-
структур

X. 1983, 19, N6

RbH₅(PO₄)₂

1983

21 Е422. Строение кристаллов RbH₅(PO₄)₂. Ефремов В. А., Гудиница Э. Н., Мацичек И., Факеев А. А. «Ж. неорган. химии», 1983, 28, № 7, 1725—1730

Проведено рентгеноструктурное исследование RbH₅(PO₄)₂ (λ Mo, 682 отражения с $I \geq 3\sigma$ (I), анизотропный МНК до R 0,040). Кристаллы монокл. a 10,309, b 7,762, c 9,623 Å, β 100,86°, θ (изм.) 2,466, ρ (выч.) 2,463, Z 4, ф. гр. $C2/c$. Основу структуры составляет каркас из PO₄-тетраэдров, связанных посредством сильных H-связей 2,452—2,629 Å, и стабилизированный щелочным ионом. Наиболее короткая из H-связей, по-видимому, не является симметричной.

Из резюме

Структура

X. 1983, 19, N 21

RbD₂PO₄

1983

1E927. Влияние гидростатического давления на фазовые переходы в моноклинном и тетрагональном кристаллах RbD₂PO₄. Effect of hydrostatic pressure on the phase transitions on monoclinic and tetragonal RbD₂PO₄ crystals. Gesi Kazuo, Ozawa Kunio, Osaka Toshio, Makita Yasuhagi. «J. Phys. Soc. Jap.», 1983, 52, № 7, 2538—2543 (англ.)

Исследовано влияние гидростатич. давления до 1 ГПа на фазовые превращения двух модификаций RbD₂PO₄ — моноклинной и тетрагональной. В моноклинном кристалле т-ры фазовых переходов I→II и II→III монотонно снижаются при увеличении давления: $T_c = T_c^0 + KP + \gamma P^2$, где $T_c^0 = 102,5^\circ\text{C}$, $K = -50^\circ\text{C}/\text{ГПа}$, $\gamma = -39^\circ\text{C}/\text{ГПа}^2$ для перехода I→II и $T_c^0 = 41,8^\circ\text{C}$, $K = -24^\circ\text{C}/\text{ГПа}$, $\gamma = -15^\circ\text{C}/\text{ГПа}^2$ для перехода II→III. При давлении выше 0,7 ГПа наблюдается переход 1-го рода в новую фазу IV. В тетрагональном RbD₂PO₄ сегнетоэлектрич. т-ра Кюри T_c монотонно снижается при повышении давления с начальным наклоном $-47^\circ\text{C}/\text{ГПа}$, наклон dT_c/dP является убывающей ф-цией давления при $P > 0,3$ ГПа. А. И. Коломийцев

фаз. переход

90. 1984, 18,
N 1

RbD₂PO₄

1983

(Tr)

, 99: 97101p Effect of hydrostatic pressure on the phase transitions in monoclinic and tetragonal rubidium deuterium phosphate (RbD_2PO_4) crystals. Gesi, Kazuo; Ozawa, Kunio; Saaka, Toshio; Makita, Yasuharu (Japan Atomic Energy Res. Inst., Tokai, Japan 319-11). *J. Phys. Soc. Jpn.* 1983, 52(7), 2538-43 (Eng). The effect of hydrostatic pressure was studied for the phase transitions in the 2 forms of RbD_2PO_4 ; monoclinic (ferrielec.) and tetragonal (ferroelec.) crystals. In the monoclinic crystal, the I-II and II-III transition temps. monotonically decrease with increasing pressure, and the phase boundaries are represented by a quadric form of $T_c = T_{c^0} + Kp + \gamma p^2$ with the parameters of T_{c^0} , K , and γ being 102.5°C , -50 deg GPa^{-1} , -39 GPa^{-2} for the I-II transition and 41.8°C , -24 deg GPa^{-1} , -15 deg GPa^{-2} for the II-III transition, resp. A pressure-induced phase of IV was newly obsd. above $\sim 0.7 \text{ GPa}$. The transition to phase IV shows marked 1st-order character. In tetragonal RbD_2PO_4 , the ferroelec. Curie temp. monotonically decreases with increasing pressure with the initial slope of -47 deg GPa^{-1} . The slope of the Curie temp. against pressure seems to decrease as pressure increases above $\sim 0.3 \text{ GPa}$.

C.A. 1983, 99, N/2

Tiukmug R8

1983

Schnerring H. G. von Hönele W.,
Manriquez V., et al.

Solid State Chem., 1982;

C_p , T_{tr} ; Proc. 2 Eur. Conf. Veldhoven,
7-9 June, 1982. Amsterdam
e.a., 1983, ● 765-768.

(e.u. Tiukmug Li; I)

RbH₂PO₄

1984

13 Б3139. Рентгенографические исследования в
окрестности сегнетоэластического превращения: прило-
жение к «реальным кристаллам» RbH₂PO₄ и KH₂PO₄.
 γ -Ray diffraction in the vicinity of a ferroelastic trans-
ition: Application to 'real crystal' of RbH₂PO₄ and
KH₂PO₄. Bastie P., Becker P. «J. Phys. C: Solid
State Phys.», 1984, 17, № 2, 193—205 (англ.)

Ттг)

(1) ~~10~~

ж. 1984, 19, № 13

Рассмотрены результаты рентгенографич. исследований кристаллов RbH_2PO_4 (I) и KH_2PO_4 (II) при т-рах вблизи т. крит. фазового превращения (Пр) сегнетоэластик—сегнетоэлектрик (соотв., 144 и 122 К). Проведен анализ изменения формы и интенсивности дифракционных линий и определены распределения по объему образцов величин т. крит., изменение к-рой обусловлено изменением св-в в-ва вблизи дефектов структуры, и внутр. напряжений, связанных с параметром порядка структур I и II. Показано, что явление значит. ослабления интенсивности линий при т. крит. является важной характеристикой его механизма. Предложена колич. модель, описывающая это явление, построенная на основе термодинамич. теории Ландау. Оценено влияние дефектов структуры на механизм Пр и показано, что предложенная модель справедлива и в условиях, когда степень совершенства структуры изменяется в широких пределах.

В. Е. Смирнов

RbD₂PO₄

1984

21 Б2030. Структура моноклинного дидейтерофосфата рубидия, RbD₂PO₄, в промежуточной фазе. Structure of monoclinic rubidium dideuteriumphosphate, RbD₂PO₄, in the intermediate phase. Hagiwara T., Itoh K., Nakamura E., Komukai M., Makita Y. «Acta crystallogr.», 1984, C40, № 5, 718—720 (англ.).

Известны 3 модификации RbD₂PO₄: сегнетоэл. (Ia), промежуточная (Iб) и параэл. (Iв). Фазовые переходы Ia, $P\bar{2}_1(2a, b, 2c) \rightleftharpoons$ Iб ($P\bar{2}_1/m, a, b, c$) \rightleftharpoons Iв ($P\bar{2}_1/m, a, b, c$) происходят при 317, 377 К. С целью выявления механизма ФП проведен РСТА (λ Си, 500 отражений, анизотропное приближение для неводородных атомов, R 0,04) Iб. Параметры монокл. решетки Iб: a 7,683, b 6,170, c 9,559 Å, β 109,10°, ρ (выч.) 2,861, Z 4, ф. гр. $P\bar{2}_1/c$. Модификация Iб изоструктурна CsH₂PO₄, но является по отношению к ней сверхструктурой (параметр c удвоен). Тетраэдры PO₄ связываются друг с другом.

Tet;

X.1984, 19, № 21

посредством H-связей 3 типов так, что образуются зиг-загообразные цепочки, простирающиеся вдоль b . Два типа атомов D имеют очень большие амплитуды тепловых колебаний ($\sim 0,5$ Å). Межатомные расстояния P—O 1,472—1,558, Rb—O 2,972—5,011, Rb—D 3,13 Å; O.....O 2,497—2,519 Å, углы OPO 106,4—113,1, ODO 167°. Тетраэдры PO₄ в I_b разупорядочены, в I_a упорядочены: ФП I_a→I_b типа порядок — беспорядок. Данна структурная интерпретация ФП I_a→I_b→I_b.

В. Б. Калинин

RbD_2PO_4

1984

(T_{tr})

102: 123439g Rubidium-87 quadrupole coupling and phase transitions in monoclinic rubidium dideuterium phosphate (RbD_2PO_4). Topic, B.; Blinc, R. (J. Stefan Inst., Univ. Ljubljana, Ljubljana, Yugoslavia). Congr. AMPERE Magn. Reson. Relat. Phenom., Proc., 22nd 1984, 58-9 (Eng). Edited by Mueller, K. A.; Kind, R.; Roos, J. Zurich Ampere Comm.: Zurich, Switz. Structural phase transitions at $T_{c1} \approx 101^\circ$ and $T_{c2} = 44^\circ$ in monoclinic RbD_2PO_4 were studied by ^{87}Rb NMR. Both transitions result in significant changes in the quadrupole coupling and can be described by a crit. exponent $\beta = 0.27 \pm 0.02$.

C. A. 1985, 102, N 14.

RbH_2PO_4

ЛМ-202191

1984

физико-
хим. ис-
следован.,
 T_m , T_{tz} ;

Жигариковский Б. М.,
Поликов И. А. в гр.

Изд. АН СССР. Исправ.
наукоиздат, 1984, 20,
№ 7, ● 1243-1248.

$Rb_5H_7(PO_4)_4$

1985

10 Б2064. Структура $Rb_5H_7(PO_4)_4$. Structure of pentarubidium heptanydrogentetrakis(phosphate). Averbuch-Pouchot M. T., Durif A. «Acta crystallogr.», 1985, C41, № 11, 1555—1556 (англ.)

При попытке синтеза высокот-рной модификации RbH_2PO_4 получен монофосфат нового типа $Rb_5H_7(PO_4)_4$, к-рый образуется также из стехиометрич. кол-в H_3PO_4 и Rb_2CO_3 . Проведен его РСТА (1060 отражений, R 0,056). Кристаллы ромбич., a 28,57, b 10,277, c 6,090 Å, ρ (выч.) 3,024, Z 4, ф. гр. $Pnma$. В структуре изолированные тетраэдры PO_4 прослаиваются полиэдрами RbO_{10} , RbO_9 и RbO_8 с образованием 3-мерного каркаса. Атомы Р и Rb расположены в плоскостях m . Расстояния Р—О 1,462—1,594 Å, углы ОРО 99,9—116,2°.

Ю. И. Сигаловская

структура

X. 1986, 19, N10

Rb_3P_7 1985
Bolduan F., Könle W.,
et al.

T_{tr} ; Phys. statis solidi,
1985, B132, N1, 41-50.

(c.c.i. Ki_3P_7 ; Γ)

RbPF₂

[OM. 23084]

1985

Jacobs H., Hassiepen K. et al.,

Извест.
Хим.,
Краснодар.
Синтез и
структура

Л. Anorg. und Allg.
Chem., 1985, 53, N 12,
108-118.

1985

$Rb_{0.52}(ND_4)_{0.48}D_2PO_4$

105: 13163s Thermal properties of the frustrated deuterated rubidium ammonium hydrogen phosphate ($Rb_{0.52}(ND_4)_{0.48}D_2PO_4$) system at low temperatures. Lawless, W. N.; Schmidt, V. H. CeramPhys., Inc., Westerville, OH 43081 USA). *Jpn. J. Appl. Phys., Part 1* 1985, 24(Suppl. 24-2, Proc. Int. Meet. Ferroelectr., 6th), 952-4 (Eng). Sp. heat and thermal cond. data at 1.5-35 K are reported on the mixed (frustrated) ferroelec.-antiferroelec. crystal $Rb_{0.52}(ND_4)_{0.48}D_2PO_4$. A glasslike linear term in the sp. heat is resolved at <5 K and ascribed to random elec. fields caused by the random distribution of Rb ions, in good agreement with the theory to D. B. McWhan et al. (1977). A max. in C/T^3 at 13.5 K is attributed to dispersionless motions of the D ions, by analogy with KDP. In contrast to the sp. heat, the thermal cond. is not glasslike, displaying a max. at 12.5 K of $37 \text{ mW cm}^{-1}\text{K}^{-1}$. At lower temps., the behavior of the thermal cond. is tentatively ascribed to resonant phonon scattering from the Rb- ND_4 system. The Debye temp. for the crystal is 303 K, in reasonably good agreement with extrapolations based on Θ_D for KDP.

(G. Bo)

c.a. 1986, 105, N 2

Rb_3P_7

1985

Meyer Teodoro M.

Diss. Dokt. Naturwiss. Chem.
Fak. Univ. Stuttgart,
1985; 227e., ill.

(cer. K_3P_7 ; I)

$(NH_4)_x Rb_{1-x} H_2 PO_4$

1985

(Cp)

105: 13164t Heat capacities and phase transitions of the ammonium rubidium hydrogen phosphate system ($(NH_4)_x Rb_{1-x} H_2 PO_4$) system. Moriya, Keiichi; Matsuo, Takasuke; Suga, Hiroshi; Terauchi, Hikaru (Fac. Sci., Osaka Univ., Toyonaka, Japan 560). *Jpn. J. Appl. Phys., Part 1* 1985, 24(Suppl. 24-2, Proc. Int. Meet. Ferroelectr., 6th), 955-7 (Eng). Heat capacities of the solid soln. system $(NH_4)_x Rb_{1-x} H_2 PO_4$ with $x = 0, 0.70, 0.74, 0.79$ and 0.89 were measured with adiabatic calorimeters. The antiferroelectric ordering occurs in 2 steps for $x = 0.79$ and 0.89 . No distinct anomaly due to phase transition was obsd. in the heat capacities of $x = 0.70$ and 0.74 . Slight excess heat capacities exist over the normal lattice contribution which was calcd. by assuming the additivity of those of both neat crystals. The excess heat capacity can be correlated with the anomalous variation of the lattice consts. and the dielectric permittivities of the corresponding system. These effects can reflect the development of local ordering in their proton arrangements.

C.A. 1986, 105, N2

RbH₂PO₄

1985

5 Б3176. Механизм фазового перехода в сегнетоэлектриках типа RbH₂PO₄. Phase-transition mechanism in RbH₂PO₄-type ferroelectrics. Simon Patrick, Gervais François. «Phys. Rev. B: Condens. Matter», 1985, 32, № 1, 468—470 (англ.)

Pt2;

Проведены исследования т-рной зависимости полярных фононных спектров RbH₂PO₄ для эл. полей, поляризованных параллельно к сегнетоэлектрич. оси. Фононные х-ки выведены из наилучшего соответствия факторизованной формы диэлектрич. ф-ции к ИК-данным на отражение в обл. 20—4000 см⁻¹. При 80 К спектры состоят из 2 внешних мод, а также ν_{2c} и 2 ν_{4c} внутр. мод. Низкочастотная компонента начинает проявляться выше 100 К и ее интенсивность резко повышается к T_c . Установлено, что главная ν_{4c} мода дестабилизирована междуузельным релаксац. движением протонов и смягчается при приближении к T_c . Колебат. движение, вызывающее фазовый переход, является, гл. обр., ν_{4c} типа и Rb ионы также включены в переход. Мягкая мода ν_{4c} связана с низкочастотными внешними методами. Предложен механизм смещения для данного перехода.

В. Ф. Пономарев

X. 1986, 19, N5

Rb_3P_7 [OM. 21368] 1985

Tentscher K., Gmelin E.,
et al.,

φα306.
κερεξογ,
 C_p

Thermochim. Acta, 1985,
85, 151-154.

RbH₂PO₄

Om. 24829

1986

Baranowski B., Friesel
M., Lindén A.

popol.
reprezent

Z. Naturforsch., 1986,
A41, N 7, 981 - 982.

$Rb_{0.52}(ND_4)_{0.48}D_2PO_4$

1985

24 Б3016. Термические свойства неупорядоченной системы $Rb_{0.52}(ND_4)_{0.48}D_2PO_4$ при низких температурах.
Thermal properties of the frustrated $Rb_{0.52}(ND_4)_{0.48}D_2PO_4$ system at low temperatures. Lawless W. N., Schmidt V. H. «Jap. J. Appl. Phys.», 1985, Pt 1, 24, Suppl. 2, 952—954 (англ.)

Определены теплоемкость (C) и теплопроводность (λ) при 1,5—35 К кристаллов смешанного неупорядоченного сегнетоэлектрика — антисегнетоэлектрика $Rb_{0.52}(ND_4)_{0.48}D_2PO_4$. Измерения проводились методом адиабатич. калориметрии путем создания контролируемого теплового потока в градиенте т-р. Обнаружено присутствие в выражении $C = mT^3 + T^n$ линейного члена ($n = 1$), характерного для стеклообразного состояния в-ва, преобладающего ниже 5 К. Этот член связан с хаотич. эл. полями, обусловленными хаотич. распределением Rb^+ . Максимум величины C/T^3 соответствует

$C_p, \lambda_D;$

X.1986, 19, № 24

13,5 К и обусловлен согласованностью движений ионов D⁺. Особенности поведения $\lambda(T)$, достигающей максимума 37 Вт/(см·К) при 12,5 К, не могут быть объяснены наличием стеклообразной фазы. Поведение $\lambda(T)$ рассмотрено как следствие резонансного рассеяния фононов в системе Rb—ND₄. Рассчитана т-ра Дебая, равная 303 К.

В. Е. Смирнов

RbH_2PO_4

1986

Baranowski B.,
Friesel M., et al.

T_{tz} ; Z. Naturforsch., 1986,
A41, N⁷, 981-982.

(c.u. C_8HSeO_4 ; I)

РВУ РБЗК) лом. 23458/ 1986.

Касенов Б.К., Абисарев А.Н.

и др.,

АғН,
03.01.86

Вестник АН Каз. ССР,
1986, № 3, 33-39.

Rb₄Pd₇(K) |om. 26986| 1986

Қасенов Б.К., Абисеев А.М.,
и др.,

ΔfH ,
оценки Вестник АН Казахской ССР,
1986, №3, 33-39.

$Rb_3 Pd_4(K)$ /отм. 26986/ 1986

Касенов Г.Р., Абисеев Д.Н.,
и др.,

$\Delta f H$,
оценка Вестник АН Казахской ССР,
1986, №3, 33-39.

$Rb_3 Pb_4$ [Om. 23458]

1986

Касемов Б.К., Абисарев Д.Н.

и др.)

ДФН,

оценки

Вестник АН Каз. ССР,
1986, № 3, 33-39.

RbH_2PO_4

1986

С 14 Б3098. Поликонденсация дигидрофосфата руби-
дия при 200—350 С. Коваль В. А., Палий С. С. «Ж.
неорган. химии», 1986, 31, № 2, 508—510

В т-рном интервале 200—350° С изучена кинетика де-
гидратации RbH_2PO_4 . Установлено, что RbH_2PO_4 под-
вергается конденсации с образованием полифосфата ру-
бидия. Состав продуктов конденсата зависит от темпера-
туры.

Резюме

термическая
диссоциация

Х. 1986, 19, N 14

1986

*RbH₂PO₄**RBD₂PO₄**II*
*T_c**X. 1986, 19, N 14*

14 Б3142. Диэлектрические измерения в RbH_2PO_4 (РДФ) и в RbD_2PO_4 (ДРДФ) вблизи точек переходов.
 Dielectric measurements in RbH_2PO_4 (RDP) and RbD_2PO_4 (DRDP) near the transition point. Martínez J. L., Gonzalo J. A. «Acta phys. pol.», 1986, A69, № 1, 9—14 (англ.)

В диапазоне т-р 110—230 К с помощью измерений т-рных зависимостей диэлектрич. постоянных и тангенсов углов диэлектрич. потерь (на частотах от 20 Гц до 10 кГц, в полях смещения от 0 до 800 В/см), а также измерений статич. поляризации (в обл. т-р ниже точек переходов) исследованы фазовые диаграммы монокристаллов RbH_2PO_4 (I) и RbD_2PO_4 (II). Аномалии диэлектрич. св-в I вблизи $T_c = 146$ К соответствуют фазовому переходу 2-го рода, тогда как II вблизи $T_c = 223$ К обнаруживает черты фазового перехода 1-го рода, что необычно для подобного класса соединений. Диэлектрич. потери в I с увеличением поля возрастают с $8 \cdot 10^{-3}$ до $9,7 \cdot 10^{-3}$ (на частоте 1 кГц), а в II с увеличением частоты возрастают с $0,8 \cdot 10^{-2}$ (100 Гц) до $3,9 \cdot 10^{-2}$ (10 кГц).

B. A. Ступников

1985


 $x = 0,70, 0,74, 0,79,$
 $\mu_H - \mu_L = 0,89;$

23 Б3043. Теплоемкости и фазовые переходы в системе $(NH_4)_x Rb_{1-x} H_2 PO_4$. Heat capacities and phase transitions of the $(NH_4)_x Rb_{1-x} H_2 PO_4$ system. Moriya K., Matsuo T., Suga H., Terauchi H. «Jap. J. Appl. Phys.», 1985, Pt 1, 24, Suppl. 2, 955—957 (англ.)

В интервале 17—300 К с помощью адиабатич. калориметра измерена изобарная теплоемкость (C_p) RbH_2PO_4 (I). Результаты измерений представлены графически. Установлен фазовый переход из паразелектрич. и ферроэлектрич. состояния с максимумом C_p при 147 К и $\Delta_{trs}S = 3,0$ Дж/моль·К. Измерены также C_p 4-х образцов тв. р-ров $(NH_4)_x Rb_{1-x} H_2 PO_4$ для $x = 0,70$ (II), 0,74 (III), 0,79 (IV) и 0,89 (V). На т-рных зависимостях C_p IV и V отмечены аномалии с максимумами при 64 и 82 К для IV, 98 и 119,5 К для V. Соответствующие величины $\Delta_{trs}S$ равны 1,0, 1,4, 0,6 и 2,6 Дж/моль·К. Для II и III отчетливых термич. аномалий не обнаружено.

(P)

(7) 18

X. 1986, 19, N 23.



жено, однако путем вычитания из эксперим. значений C_p II и III суммы C_p I и дигидрофосфата аммония определены широкие аномалии C_p с максимумами при 58 и 60 К и значениями $\Delta_{trs}S$ 2,2 и 1,7 Дж/моль К соотв. Отмечено, что все аномалии связаны с локальным антиферроэлектрич. упорядочением Н-связей в I—V.

П. М. Чукуров

Rh₃P₇(K) Om. 22797 1986

Santandrea R.P., Klensing Ch.,
et al.,

Cyberia-
rus u
mefusio-
giH.
cb-ba

Thermochim. acta, 1986,
98, 301-311.

RbPO₃

1986

15 Б3101. Равновесные фазовые соотношения в двойной системе RbPO₃—Ce(PO₃)₃. Phase equilibrium regulation in binary system RbPO₃—Ce(PO₃)₃. Ali M. M., Mardirosova I. V., Bukhalova G. A. «Indian J. Chem.», 1986, A 25, № 8, 758—759 (англ.)

Методами ДТА, РФА, ИК-спектроскопии, БХ и хим. анализа изучены фазовые соотношения в системе RbPO₃ (I) — Ce(PO₃)₃ (II). Образцы получены нагреванием соотв. смесей I и II при 850° С в течение 90 ч. Определена плотность и магн. восприимчивость полученных фаз. Построена фазовая диаграмма системы, в к-рой образуется RbCeP₄O₁₂ (III) по перитектич. р-ции при т-ре 892° С. Т. пл. I и II 810 и 1256° С соотв. Эвтектика в системе соответствует 17 мол. % II с т. пл. 698° С. III — парамагн., плотность III — 3,37 г/см³, теплота плавления III — 4,69 кДж/моль.

Л. Г. Титов

(+2) ~~✓~~

X. 1987, 19, N/5

РБРДз(2)

1986

Клишов В.А.

Периодизационные свойства
некоторых фосфорных цепочных
и цепочкоизмененных макромол.

м.р.

Отчет №/8 А-1928, 26.03.86г.

RbH_2PO_4 (K)

1986

107: 46727y Theory of glass transition in hydrogen-bonded ferroelectric-antiferroelectric mixed crystals. Matsushita, Eiko (Fac. Eng. Sci., Osaka Univ., Toyonaka, Japan 560). *Kotai Butsuri* 1986, 21(2), 63-72 (Japan). A review is given on the phase diagram and unusual phys. properties of RbH_2PO_4 and $NH_4H_2PO_4$ mixed crystals. The cluster theory is developed to describe the glassy phase in such systems.

M. Sorai

gray glass

⑦ ✓

C.A. 1987, 10^y, N6

RbD₂PO₄

1987

17 Б3153. Фазовые превращения в моноклинном RbD₂PO₄. Phase transitions in monoclinic RbD₂PO₄. Ва-

гапов А. И., Fedosyuk R. M., Ivanov N. R., Sand-
ler V. A., Shuvalov L. A., Grigas J., Mizeris R. «Fer-
roelectrics», 1987, 72, № 1—4, 59—66 (англ.) Место хра-
нения ГПНТБ СССР

Исследовано поведение монокл. RbD₂PO₄ при т-рах 293—400 К в окрестностях фазовых переходов I-II ($T_{c1}=372$ К) и II-III ($T_{c2}=320$ К). Определены коэф. двулучепреломления, диэл. константа (при 1 и 10 КГц), величины тока короткого замыкания и проводимость на постоянном токе. При T_{c1} и T_{c2} зафиксированы из-
менения св-в, не соотв. классич. теории средн. поля,
что объясняется влиянием крит. флюктуаций. Исследо-
вано воздействие сдвигающего эл. поля на фазовое
превращение и релаксац. диэл. динамику. Показано, что

T_{c2};

X. 1987, 19, N 17

переход I-II имеет несегнетоэл. природу. При T_{c1} и T_{c2} имеет место существование двух различных мягких мод, конденсированных на различных границах зоны Бриллюэна. Показано, что соотв. T_{c2} мягкая мода имеет релаксац. сегнетоэл. характер и ассоциируется с движением атомов D между двумя потенциальными минимумами в цепочках O—D—O вдоль осей b .

В. Е. Смирнов

$RbPO_3$

1987

Ben Hassen Dalila,
Rbiz-Ariguib, et al.

($A_m H$) Thermochem. Acta

1987, 116, 85-100.

(\bullet Li $^+$ PO₃; ?)

RbPD₃(K) (Dn. 26874) 1987

Klassen D.B., Kbir-Ari-
guib N., Trabelsi et al.

SmH; Thermochim. acta, 1987,
116, 85-100.

RBPO_3

1987

Massen Dalila Ben,
Cocconioux Jean-Jacques.

ΔH_m ; Thermochim. acta, 1987,
116, 85-100.

(act. \bullet LiPO_3 ; ?)

RBP₁₅(K)

(Om. 26753) (O.I. 26827) / 987

S'antandrea R.P., Allen-
Sing C., et al.,
Mejdumreek.
passocean.,
Mejdumgut.
cb-6a..

Thermochim. acta, 1987,
117, 261-270.

(cell. LiP₁₅(K); I)

RH_2PO_4

1987

Simon P., Gervais F.

Dyn. Mol. Cryst. Proc. 41st

Int. Meet. Soc. Fr. chim. Div.

chim. phys., Grenoble, 30-

June - 4 July, 1986. Amster-
dam e.a., 1987, 225-230.

T_{t2} ;

(c.c. RH_2PO_4 ; I)

RbH_2PO_4

1988

Baranowski B.,
Friesel M., et al.

ΔH_{tr} , Phys. ser., 1988, 37, N2,
 T_{tr} ; 209-213.

(ccr. CsH_2PO_4 ; ?)

RbH_2PO_4

1988

Dalterio R. A.,
Owens F. J.

qazob.
repercog J. Phys. C: Solid
State Phys. 1988, 21
(36), 6177 - 85.

(cer. KH_2PO_4 ; I)

R₆D₂PO₄

1988

Ichikawa, Mizuehiko, Motida
Kiyoshi,

Ttr;

J. Phys. Soc. Jap., 1988,

57, N6, 2217-2218.

(cu. C₃H₂PO₄; I)

$Rb_2HPO_4 \cdot 2H_2O$

1988

Коваль В.А., Палий С.С.

Термическая дегидратация $\underline{Rb_2HPO_4 \cdot 2H_2O}$ в температурном
интервале 200–350°C

Термич. // Журн. неорган. химии. – 1988. – Т. 33, вып. 5. – С. 1345–
1347.

Разложил Библиогр.: 6 назв.

— 1. Рубидий, фосфаты, кристаллогидраты — Дегидрата-
ция термическая.

№ 80659

УДК 546.35:536.495

18 № 4543

ЕКЛ 17.8

НПО ВКП 1.08.88

1988

RbH₂PO₄

15 Б3165. Тепловое расширение, двулучепреломление к калориметрические измерения PbH₂PO₄. Thermal expansion, birefringence and calorimetric measurements on RbH₂PO₄ / López-Echarri A. // 1st Eur. Conf. Appl. Polar Dielec. and Int. Symp. Appl. Ferroelec., Zürich, Aug. 29 — Sept. 1, 1988: ECAPD—1 ISAF'88: Abstr. Booklet.— [Zürich], 1988.— С. 247.— Англ.

t₂

Методами определения теплового расширения, двулучепреломления и калориметрии исследовано превращение параз. фазы RbH₂PO₄ в сегнетоэл. при 146,9 К. С учетом полученных ранее данных методов ИК- и КР-спектроскопии рассчитан решеточный вклад в величину уд. теплоемкости (Тп). Выявлено влияние различных мод на т-рное поведение Тп. Рассчитан ангармонич. вклад в величину Тп. Полученные результаты позволили произвести достоверную интерполяцию калориметрич. данных и определить термодинамич. характеристики превращения. Свободная энергия низкот-рной фазы описана в рамках простой феноменологич. модели, включающей параметр порядка. Поведение Тп высокот-рной фазы связано с аномальным поведением диэл. константы.

В. Е. Смирнов

Х. 1989, N 15

RbH_2PO_4 (Om. 29152) 1988

Baranowski B.,

SH Z. Phys. Chem. (DDR),
1988, 269, N₂, 376-386

RBH_2PO_4

1988

Baranowski B.,
Friesel M., et al.

T_{tr} ,

Phys. Scr. 1988, 37(2),
209 - 13.

$\Delta_{tr} H$;

( CsH_2PO_4 ; -)

RbH₂PO₄

1988

+1

20 Б3139. Термодинамические и кристаллохимические особенности процесса термической дегидратации дигидроортфосфатов рубидия и цезия. Волков А. И., Комшилова О. Н., Факеев А. А., Яглов В. Н. «7 Всес. конф. по химии и технол. редк. щелоч. элементов. Тез. докл.» Апатиты, 1988, 14

С использованием комплекса физ.-хим. методов исследованы исходные, промежуточные и конечные продукты дегидратации, дигидрофосфатов Rb и Cs, определены их станд. теплоты образования. Процесс дегидратации, несмотря на изоструктурность солей, протекает по-разному. Это различие можно объяснить «разрыхлением» крист. решетки однозамещ. фосфатов в ряду $\text{KH}_2\text{PO}_4 \rightarrow \text{RbH}_2\text{PO}_4 \rightarrow \text{CsH}_2\text{PO}_4$. Для соли рубидия схема процесса дегидратации: $2[\text{RbH}_2\text{PO}_4] \rightleftharpoons [\text{Rb}_2\text{H}_2\text{P}_2\text{O}_7] + (\text{H}_2\text{O})$ (I степень), $[\text{Rb}_2\text{H}_2\text{P}_2\text{O}_7] \rightleftharpoons 2[\text{RbPO}_3] + (\text{H}_2\text{O})$ (II ступень), а для соли цезия — $[\text{CsH}_2\text{PO}_4] \rightleftharpoons [\text{CsPO}_3] + (\text{H}_2\text{O})$.

По резюме

X. 1988, 19, N 20

Kp

~~H~~ (1)

RBH_2PO_4 1989

Friesel Milan, Leerdam
Arnold, et al.

T_{cr} ; High Temp.-High Pressure-
res. 1989. 21, N2. c. 177-
-182.

(cet. C_8HSO_4 ; I°)

$RbPO_3$

1990

Дудник Е. П.,
Симякова Р. В.

Л136. АН СССР. Сер. физ.

T_{tz} 1990. 54, № 4. С. 714-716.

(cell. $\bullet LiVO_3$; I)

$Rb_3H_2P_3O_{10} \cdot 1,5H_2O$

1990

RbH_2PO_4

| 14 В8. Дигидротрифосфат рубидия / Сотникова-
Южик В. А., Продан Е. А., Песляк Г. В. // Ж. неорган.
химии.— 1990.— 35, № 4.— С. 849—852.— Рус.

Методами хр-фии, рентгенофазового, хим., термич.
анализов и ИК-спектроскопии изучены тв. фазы, осаж-
денные из р-ров трифосфата рубидия в интервале pH
1,0—6,0 при т-ре 0° С. В интервале pH 2,5—4,0 выделен
и охарактеризован мелкокрист. дигидротрифосфат ру-
бидия $Rb_3H_2P_3O_{10} \cdot 1,5H_2O$, к-рый при неизотермич. на-
греваний на воздухе превращается в смесь солей
 $2RbH_2PO_4 \cdot Rb_2H_2P_2O_7$ и RbH_2PO_4 , затем в нер-римый в
воде высокополимерный $(RbPO_3)_n$. Резюме

X. 1990, N14

$Rb_{1-x}(NH_4)_xH_2PO_4$

1991

2 Б3013. Стеклоподобные термические свойства и изотопный эффект в смешанных кристаллах $Rb_{1-x}(NH_4)_xH_2PO_4$. Glasslike thermal properties and isotope effect in $Rb_{1-x}(NH_4)_xH_2PO_4$ mixed crystals / Bergret J.-F., Meissner M., Watson Susan K., Pohl R. O., Courtens E. // Phys. Rev. Lett.— 1991.— 67, № 1.— С. 93—96.— Англ.

(ρ)

Измерена низкот-рная теплопроводность, а при т-рах между 0,05 и 2,0 К исследована зависимость теплоемкости от времени для смешанных кристаллов $Rb_{1-x}(NH_4)_xH_2PO_4$ с $x=0,35$ и $0,72$ и для полностью дейтерир. кристалла с $x=0,62$. Наблюдались стеклоподобные низкоэнергетич. возбуждения. Т-рная зависимость теплопроводности смешанных кристаллов с $x=0,35$ и $0,72$ очень похожа на т-рную зависимость теплопроводности структурных стекол. Однако тепло-

Х. 1992, № 2.

проводность полностью дейтерир. кристалла с $x=0,62$.
подобна теплопроводности кристаллов и стеклоподоб-
ные возбуждения наблюдались лишь в теплоемкости
для весьма продолжит. периодов времени. Этот пора-
зительный изотопный эффект показывает, что низко-
энергетич. возбуждения в исследованных кристаллах
связаны с туннелированием протонов или дейтеронов
соответственно.

В. Ф. Байбуз

Rb₅P₃O₁₀

1991

19 В2. Трифосфат рубидия $\text{Rb}_5\text{P}_3\text{O}_{10}$ / Сотникова-Южик В. А. // Изв. АН СССР. Неорган. матер.— 1991.— 27, № 5.— С. 1011—1013.— Рус.

Исходный р-р трифосфата Rb (I) $\text{Rb}_5\text{P}_3\text{O}_{10}$ получали из р-ра хроматографич. чистого трифосфата Na путем ионного обмена на катионите КУ-2 в Rb-форме. Безводн. I получали прокаливанием тв. остатка после выпаривания р-ра, причем при упаривании выделялась смесь монофосфатов, которые при дальнейшем нагревании взаимодействовали между собой с образованием I. I представляет собой белое порошкообразное в-во,

Tm;

X. 1991, N 19

плавящееся при 605°C . I является гигроскопич. в-вом. Гидратация I протекает как твердофазный процесс, если число молей поглощенной воды на молекулу I не превышает 5. При поглощении большого кол-ва воды р-ция протекает с участием жидк. фазы. Образец I, поглотивший более 40% воды, представляет собой жидкость. Предположено существование по крайней мере двух кристаллич. форм гидратированного I. Приведены рентгенограммы I и рентгенограммы образцов, поглотивших различные кол-ва воды, и кинетич. кривые обезвоживания гидратированного I (выдерживание над P_2O_5 при 20°C в течение ~ 12 суток).

А. С. Соловкин

RbD₂PO₄

1994

15 Б2265. О термическом расширении кристаллов RbD₂PO₄, CsH₂PO₄ и CsD₂PO₄ / Влох О. Г., Щур Я. И., Гирнык И. С., Клымив И. М. // Физ. тверд. тела (С.-Петербург) .— 1994 .— 36 , № 10 .— С. 2890—2895 .— Рус.

Исследовано термическое расширение кристаллов RbD₂PO₄, CsH₂PO₄, CsD₂PO₄ в широком интервале температур, охватывающем точки фазовых переходов. Предложено объяснение аномального поведения коэффициента термического расширения вдоль направлений b и c при переходе в промежуточную фазу кристалла RbD₂PO₄.

термическое
расширение

④ ⑧

CsH₂PO₄, CsD₂PO₄

X. 1995, N 15

RbH₂PdY (Om. 39414) 1998

Ortiz E., Vargas R.A. et al.,

t_{t2} J. Phys. Chem. Solids 1998,
6-7, 1111-1117.

On the high-temperature phase
transition of  RbH₂PdY-A

polymorphic transition?

RbH₂PO₄ [Om. 40342] 2000

Masaru Konukae et al.,

Phys. Soc. Jap.,
2000, 69, N7, 2076-81

Rb₃P₆N₁₁

2001

F: Rb₃P₆N₁₁

P: 1

02.08-19Б2.31. Rb[3]P[6]N[11] и Cs[3]P[6]N[11] - новые
высококонденсированные нитридофосфаты, полученные
высокотемпературным синтезом под высоким давлением.

Rb[3]P[6]N[11] and Cs[3]P[6]N[11] - new highly condensed
nitridophosphate high-pressure high-temperature
synthesis / Landskron Kai, Schnick Wolfgang J. Solid
State Chem. - 2001. - 156, N 2. - С. 390-393. - Англ.

Нитридофосфаты Rb[3]P[6]N[11] (I) и CsP[6]N[11] (II) получены взаимодействием соответствующих щелочных азидов с P[3]N[5] при 35 кбар и 1300°C, используя установку со многими наковальнями. Продукты I и II получены в виде бесцветных кристаллических порошков и по данным РФА изотипны K[3]P[6]N[11] (III). Структуры уточнены по методу Ритвельда, используя атомные координаты III исходные величины, кристаллографические данные: для I ф. гр. P4[1] 32, Z 1049,74 пм; для II a 1065,15 пм.